### **New Scintillators**

21/12/2018

**Alessandro Biondi** 

Vincenzo Patera Michela Marafini Adalberto Sciubba Riccardo Mirabelli

Leonardo Mattiello Alessandro Belardini

Lo scopo di questo lavoro è la ricerca e la caratterizzazione di nuovi scintillatori plastici organici performanti per fast detector.

Le caratteristiche fisiche studiate sono:

- il Light Yield (in % rispetto all'Antracene);
- il guadagno in carica (in % rispetto all'Antracene);
- la risoluzione temporale;
- il rise time;
- la costante di decadimento.

II gruppo LEOS (Laboratory of Electro-Chemistry and Organic Synthesis) ha fornito soluzioni prima in forma liquida, successivamente in forma solida.

Tramite il dipartimento di SBAI si sono effettuate misure di spettroscopia e successivamente (tramite l'ausilio dei moduli VME QDC, TDC e WVD) misure di guadagno in carica, risoluzione temporale, tempo di salita e tempo di decadimento.

# **Antracene**



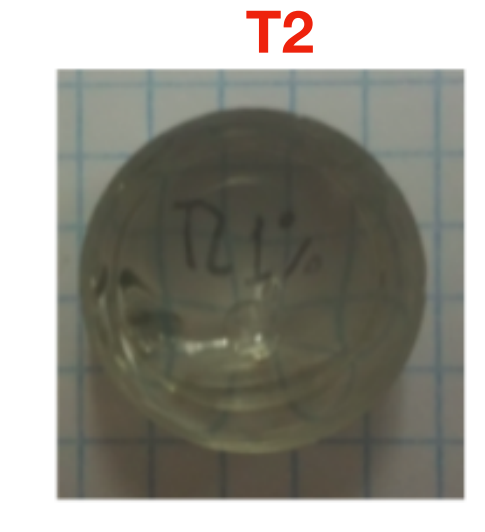








1.0 -



new scintillators

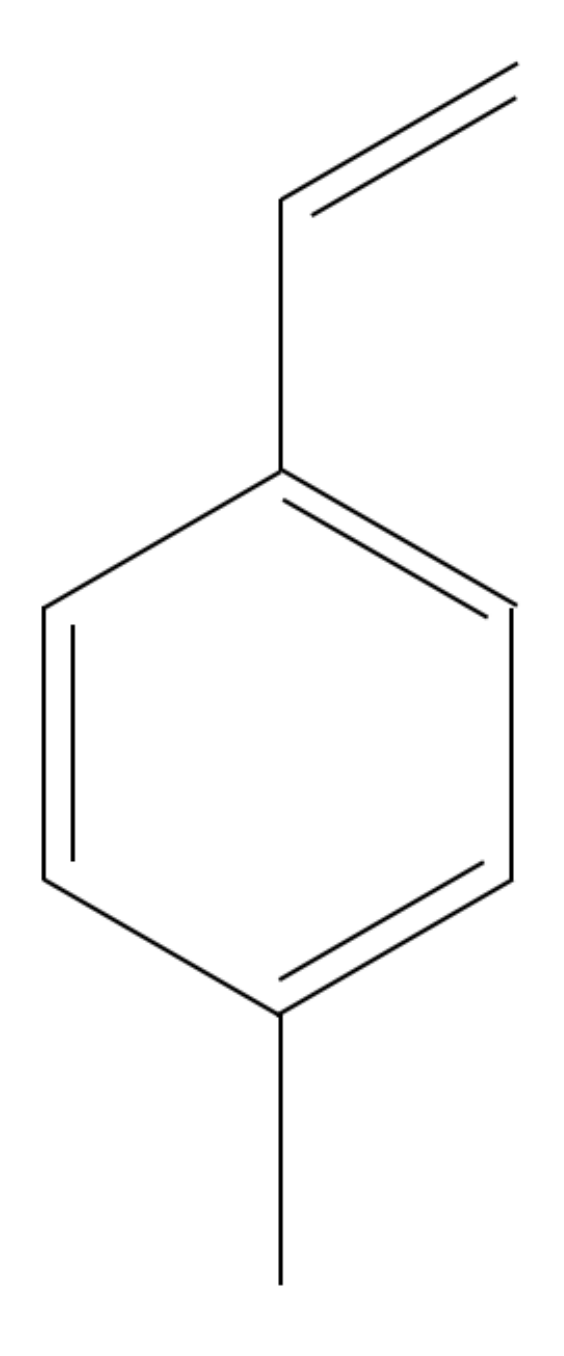


Yemam, Henok A., et al. Highly Soluble p-Terphenyl and Fluorene Derivati- ves as Efficient Dopants in Plastic Scintillators for Sensitive Nuclear Material Detection. Chemistry-A European Journal, 2017, 23.37: 8921-8931. 3

**SOLVENTE: PVT** 

Gli scintillatori liquidi e solidi sono preparati in vial di uguale geometria. Nella prima fase inserita una soluzione costituita viene principalmente da vyniltoluene (con formula chimica  $C_9H_{10}$  e peso molecolare MW = 354,537 g/mol) e da una piccola percentuale di Azobisisobutirronitrile (con formula chimica  $[(CH_3)_2C(CN)]_2N_2$ ) la cui funzione è quella di iniziare il processo di polimerizzazione. Si ottiene quindi il Poli-VynilToluene, materiale cui lo scintillatore composto con commerciale di riferimento BC-412.

La concentrazione di materiale scintillante all'interno del solvente costituisce l'1% della soluzione. Al fine di limitare fenomeni come il ri-assorbimento, sono immesse quantità di dopante waveshifter pari allo 0,1% della soluzione.



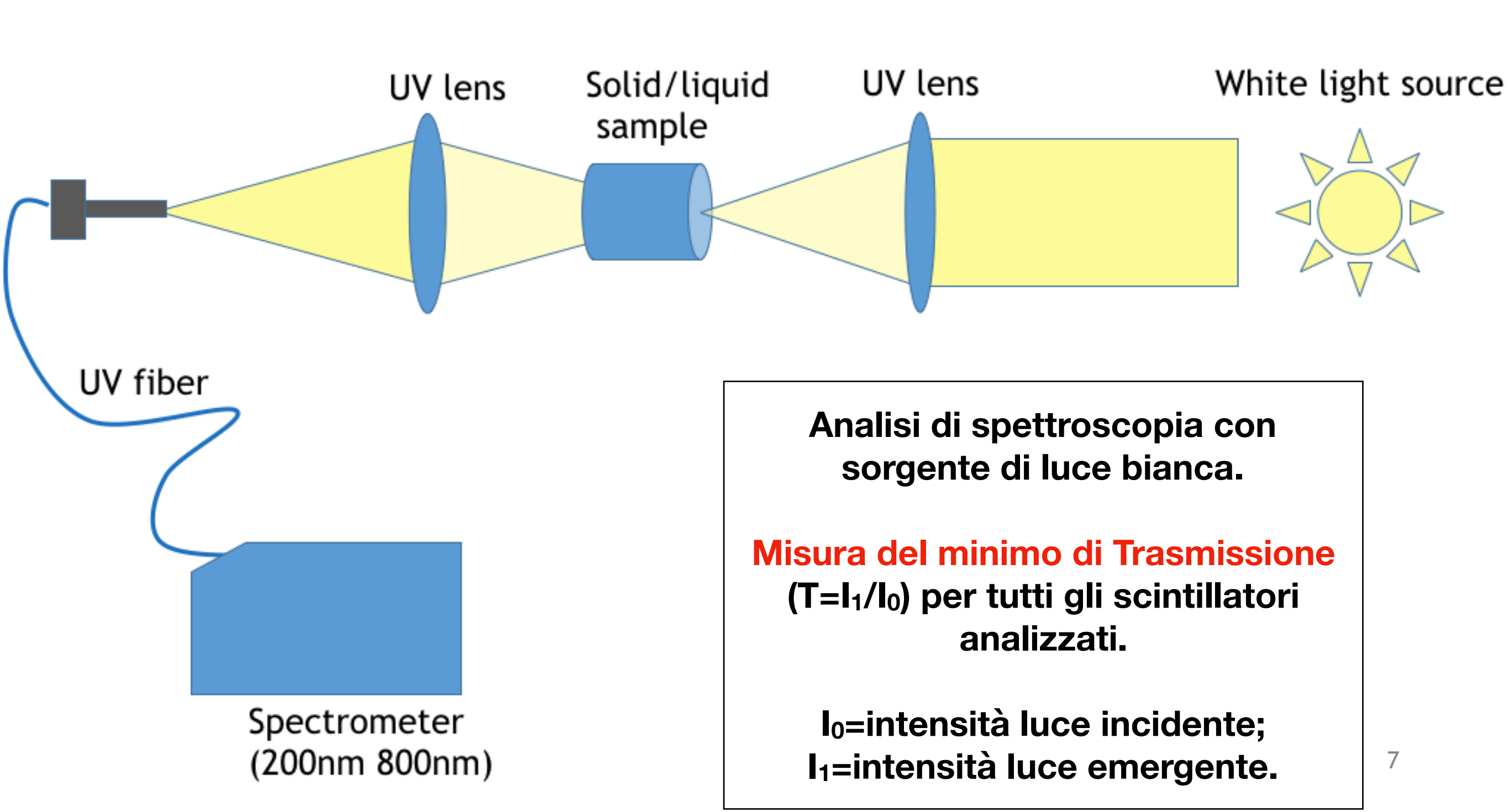
#### Dopanti Waveshifter

Il **POPOP** o 1,4-Bis(5-phenyl-2-oxazol-2-yl)benzene è uno scintillatore con formula chimica C24H16N2O2, peso molecolare MW = 364,40 g/mol e picco dello spettro in trasmissione  $\lambda^t_{peak}$  = 474 nm mentre il picco in riflessione è  $\lambda^r_{peak}$  = 410 nm.

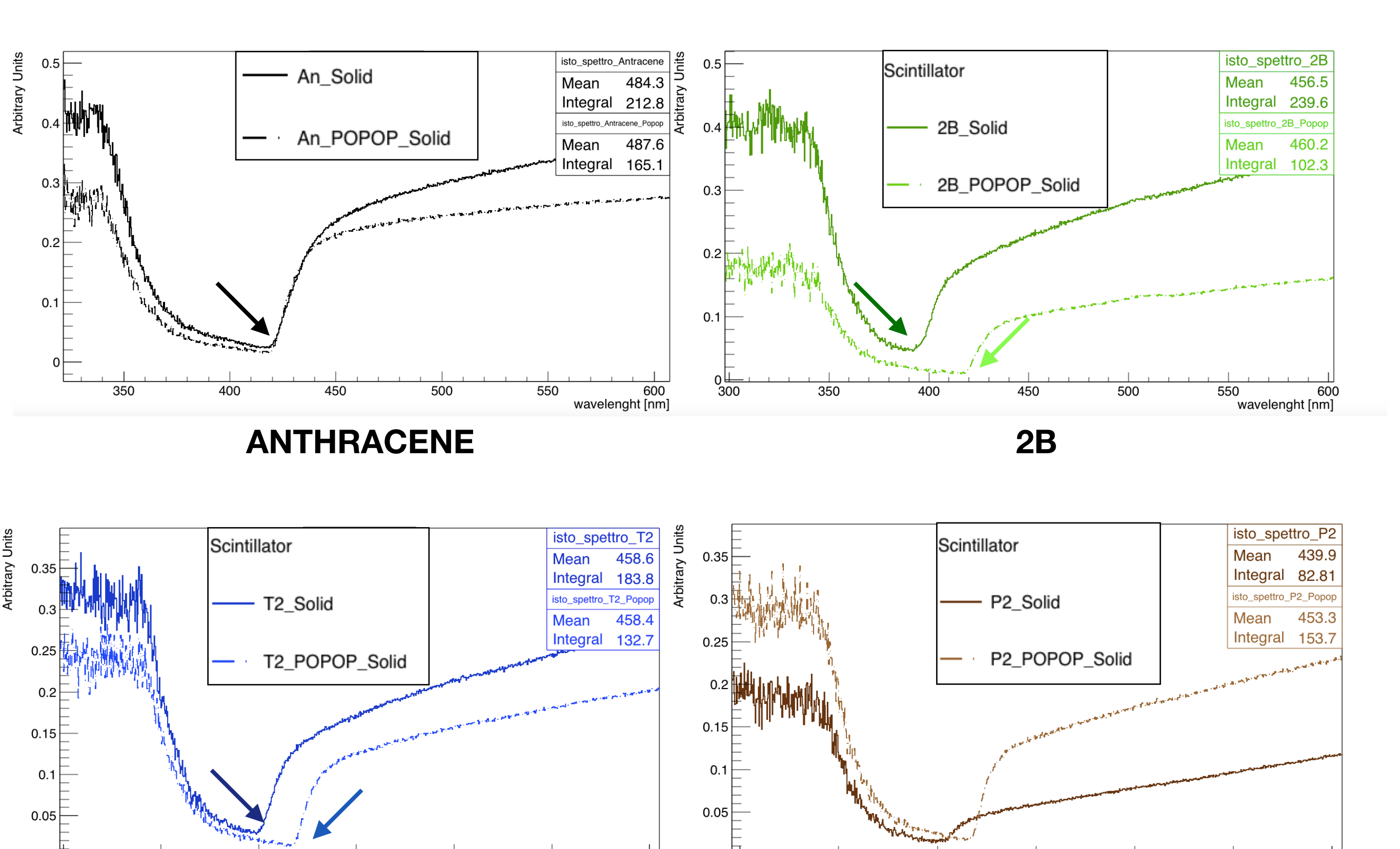
Il DPB o 1,4-Diphenyl-1,3- butadiene è un materiale scintillante con formula chimica  $C_{16}H_{14}$ , peso molecolare MW = 206,29 g/mol e picco dello spettro in trasmissione  $\lambda^t_{peak}$  = 463 nm.

## Spectroscopy

#### **Transmission setup**



### Spectroscopy in trasmission



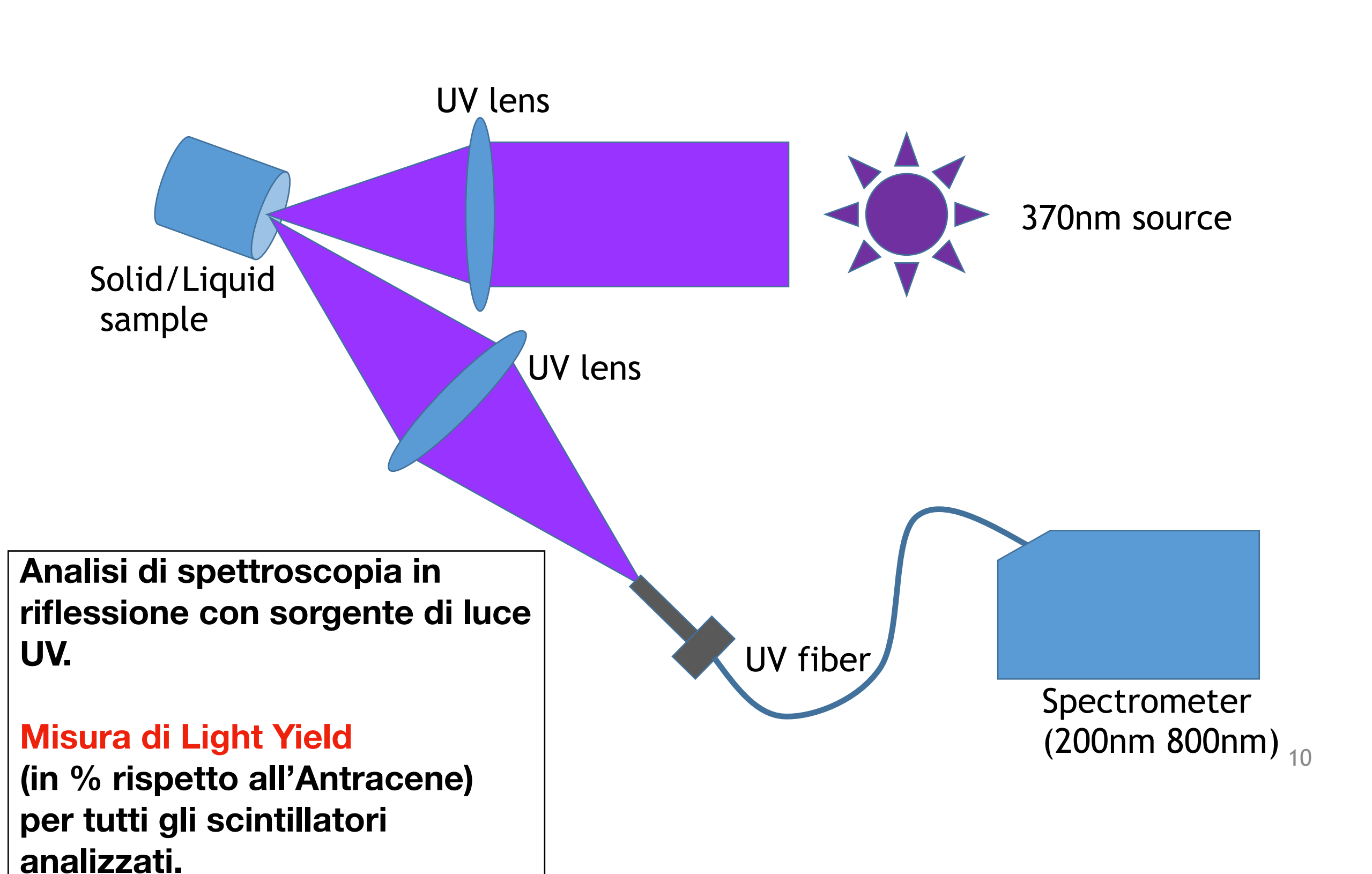
wavelenght [nm]

wavelenght [nm]

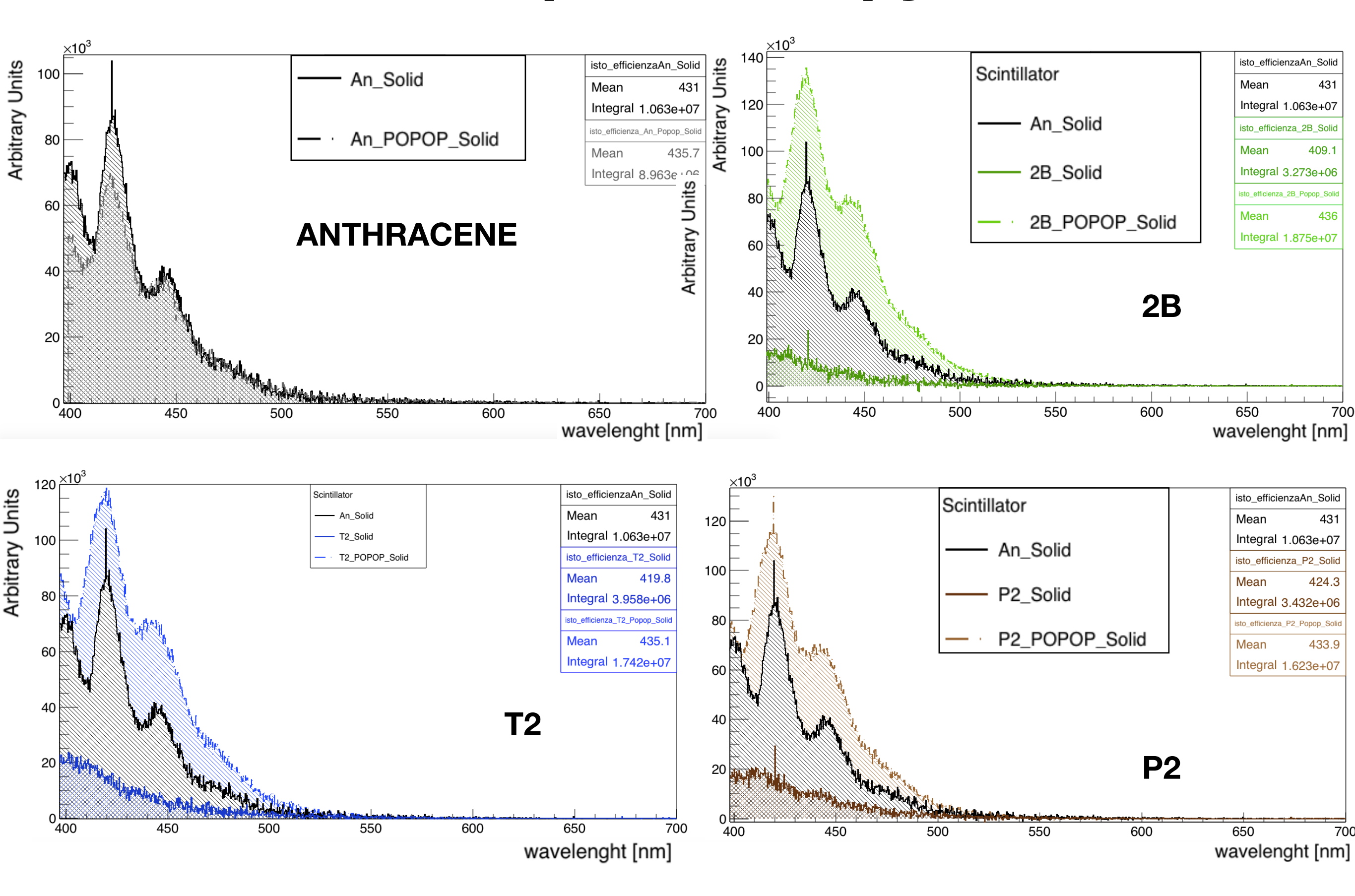
**T2** 

Transmission Minimum (nm)	Scintillator	Scintillator + POPOP
An	397 ± 1	399 ± 1
2N	402 ± 1	401 ± 1
1N	388 ± 1	397 ± 1
2B	380 ± 1	399 ± 1
P2	402 ± 1	398 ± 1
T2	379 ± 1	398 ± 1
BC-412	386 ± 1	X

### Luminescence in reflection Setup



#### Luminescence spectroscopy in reflection

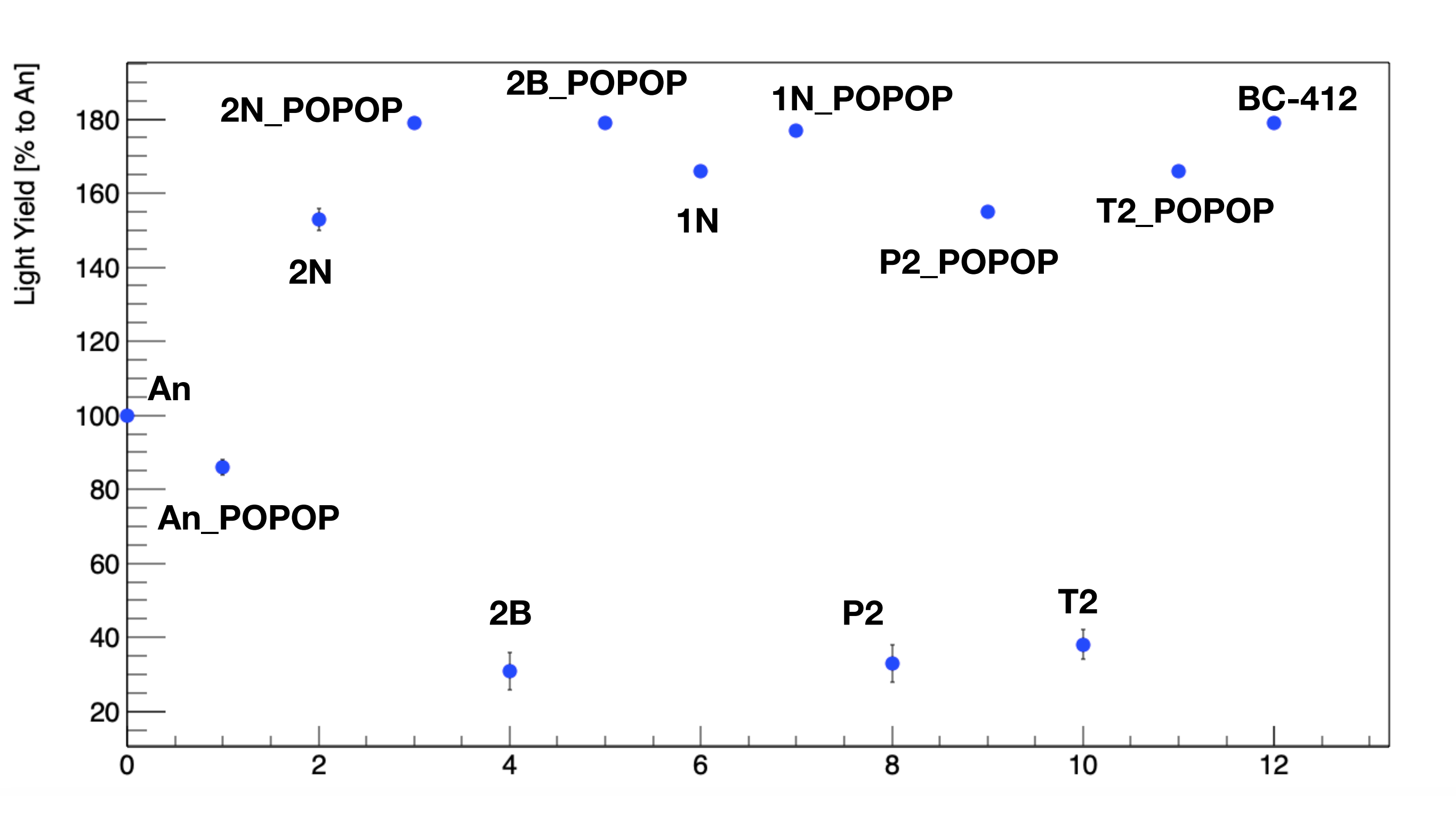


Light Yield (% to Anthracene)	Scintillator	Scintillator + POPOP
A	100.00	86 ± 2
2N	153 ± 3	179 ± 1
2B	31 ± 5	179 ± 1
1N	166 ± 1	177 ± 1
P2	33 ± 5	155 ± 1
T2	38 ± 4	166 ± 1
BC 412	179 ± 1	X

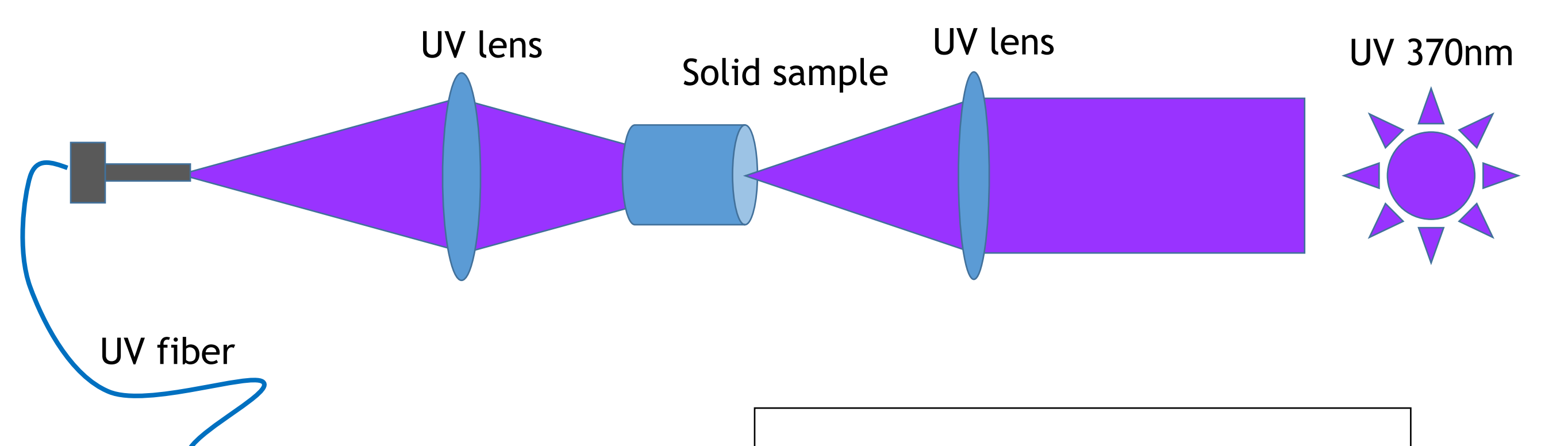
#### Nota:

Questi valori non tengono conto dei fenomeni di ri-assorbimento interni agli scintillatori.

## Plot Light Yield [% to An] (in reflection) Scintillators



### Luminescence in transmission setup



Spectrometer (200nm 800nm)

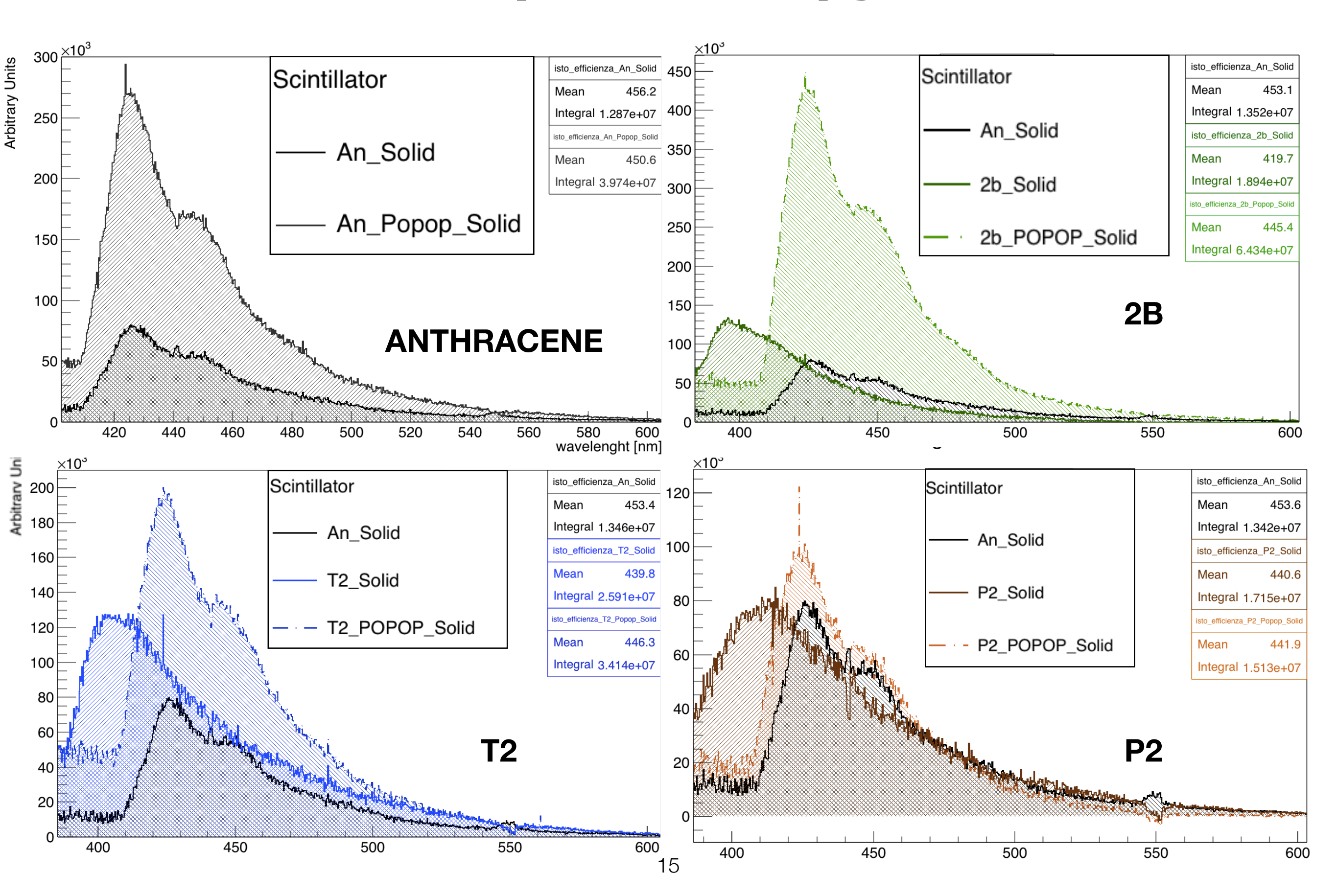
Analisi di spettroscopia in trasmissione con sorgente di luce UV.

#### Misura di Light Yield

(in % rispetto all'Antracene) per tutti gli scintillatori analizzati, tenendo conto del ri-assorbimento.

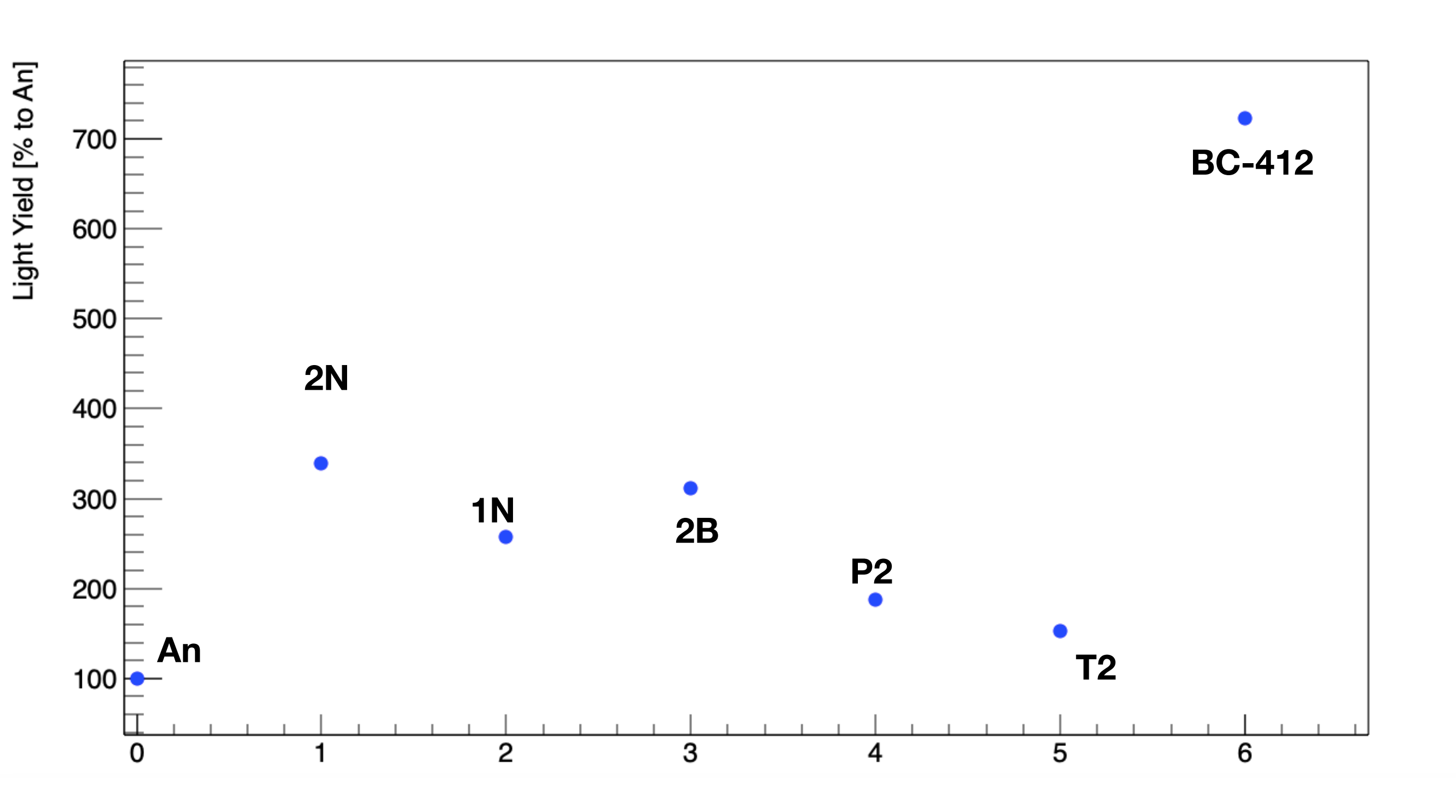
14

#### Luminescence spectroscopy in trasmission

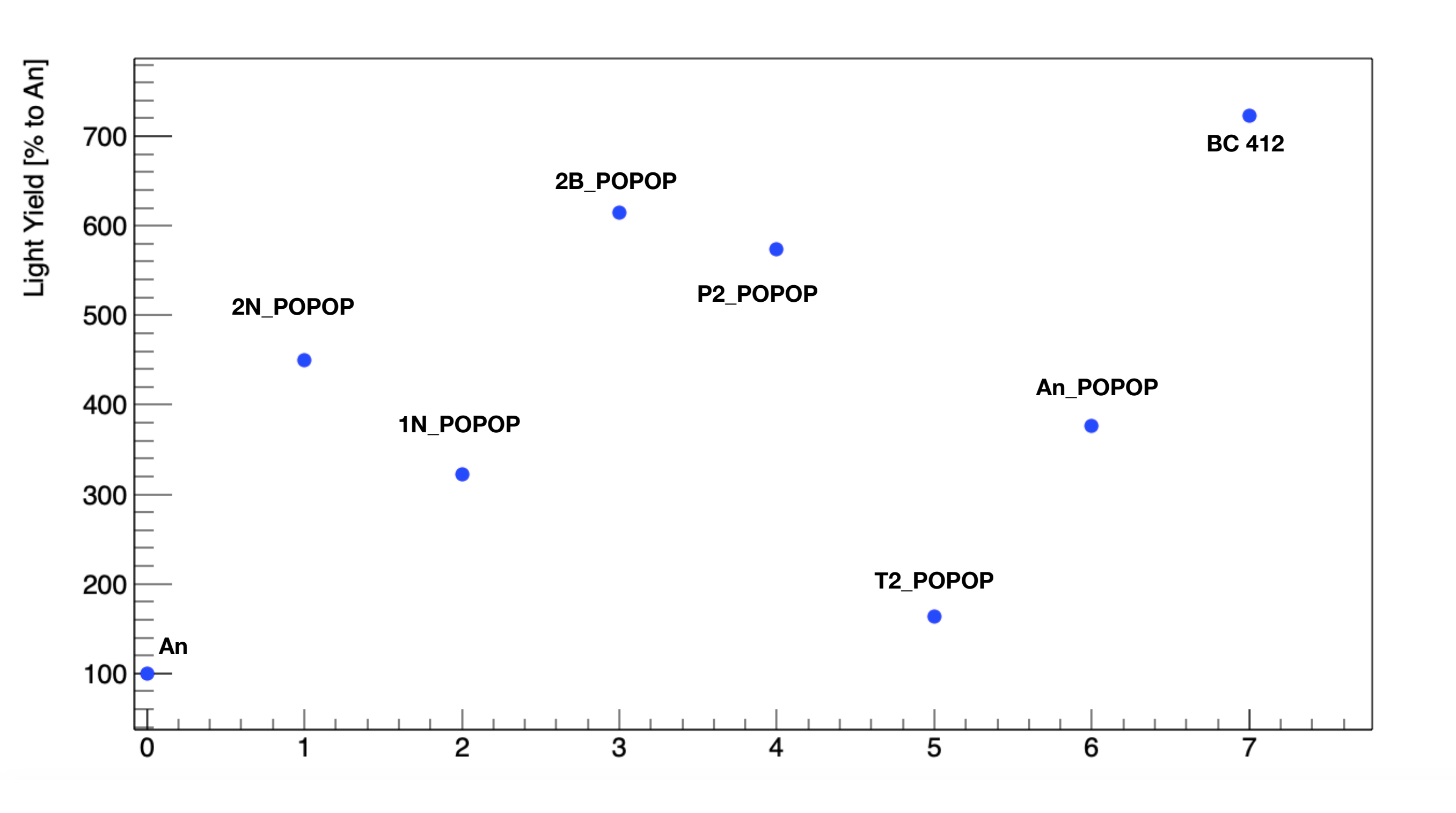


Light Yield (% to Anthracene)	Scintillatori	Scintillatori POPOP
BC 412	723 ± 1	X
An	100.00	450 ± 1
2N	339 ± 1	322 ± 1
2B	257 ± 1	615 ± 1
1N	312 ± 1	574 ± 1
P2	188 ± 1	163 ± 1
<b>T2</b>	253 ± 1	377 ± 1

## Plot Light Yield [% to An] (in trasmission) Scintillators

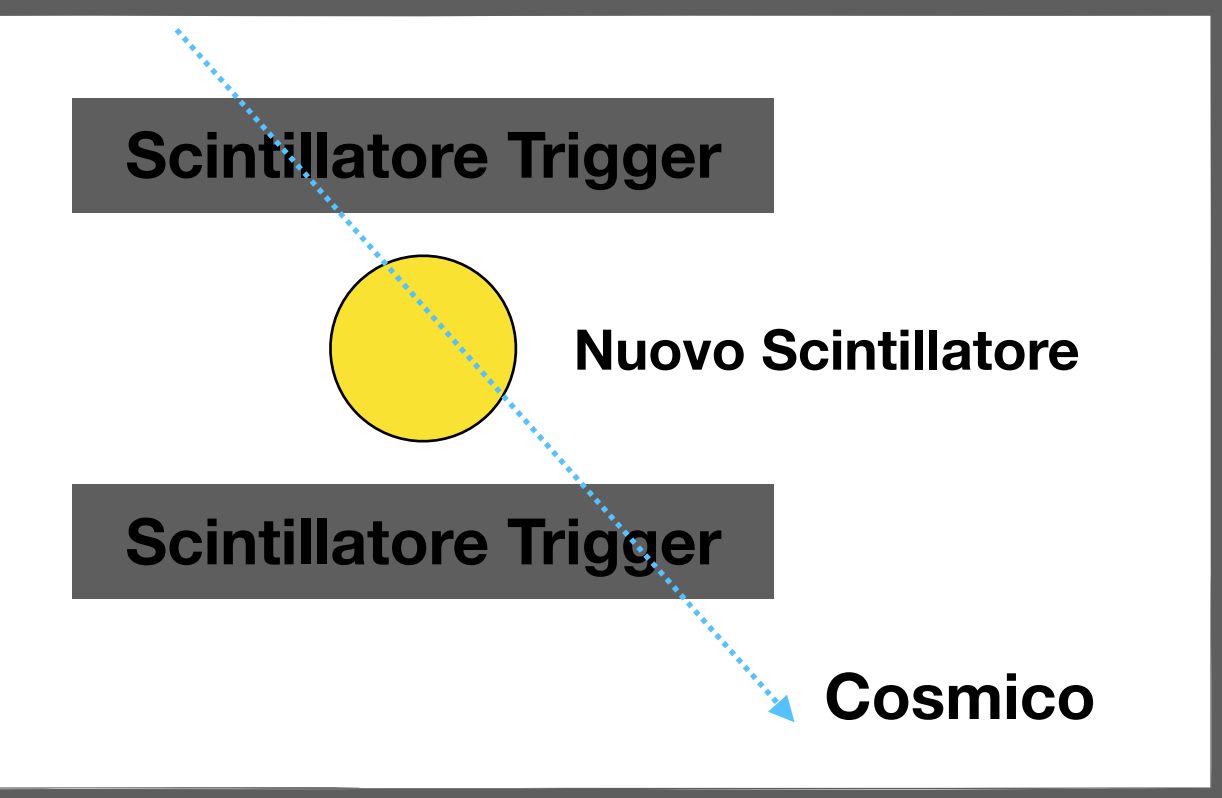


## Plot Light Yield [% to An] (in trasmission) Scintillators + POPOP



## Setup Sperimentale Solidi

**Vista Frontale** 



Vista Laterale

PMT

Nuovo Scintillatore

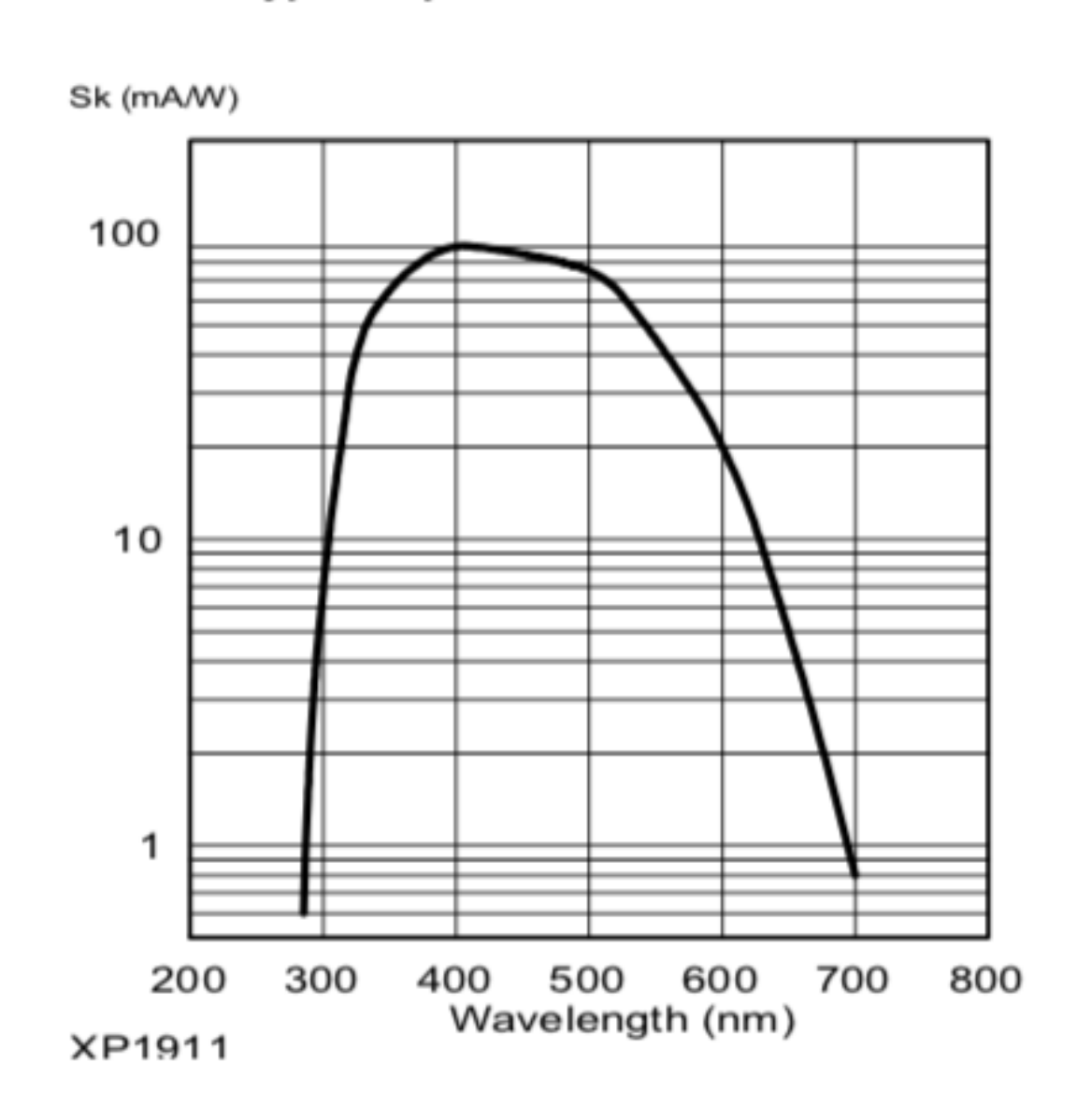
Scintillatore Trigger

Cosmico

### **Photo Multiplier Tube**

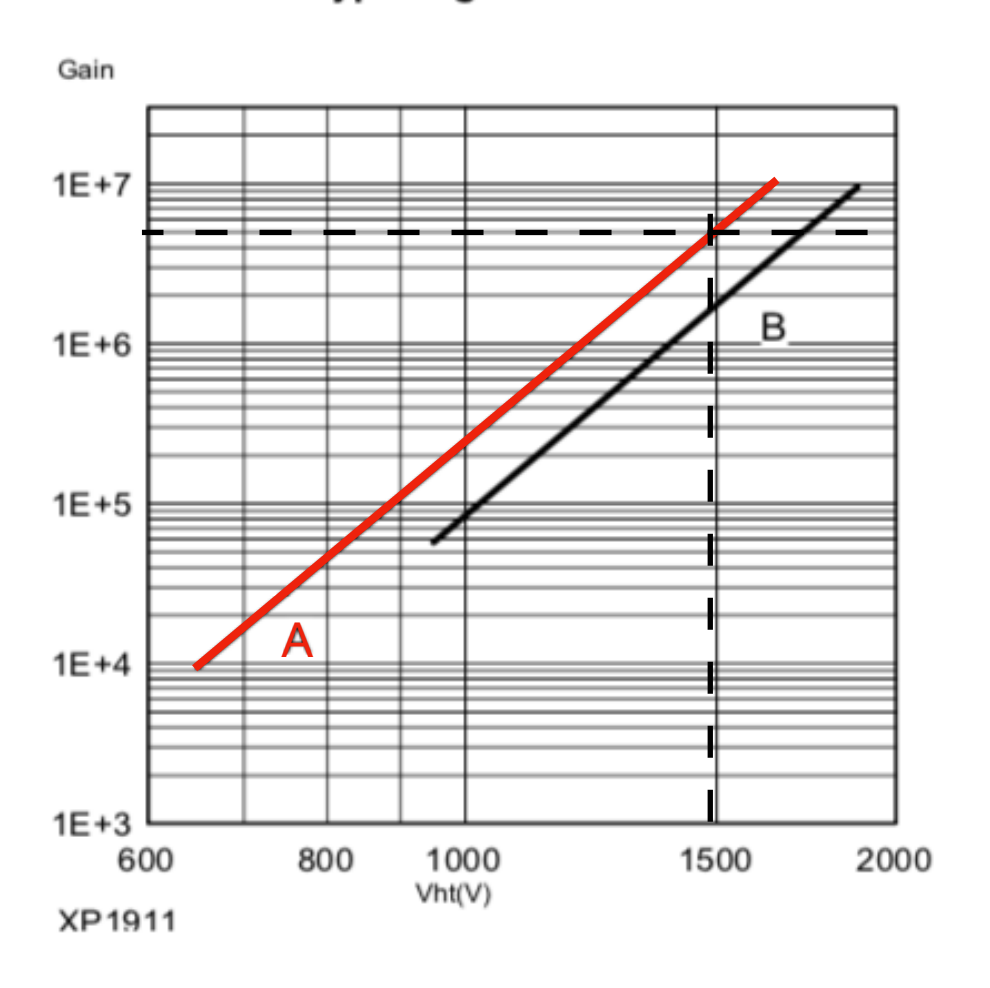
PMT	QE	Gain	Rise Time	Wavelength
Properties	(% at peak)	(1500V)	(ns)	(nm)
XP1911	~31	5.1 · 10 <sup>6</sup>	2.5	300 to 700

#### Typical spectral characteristics



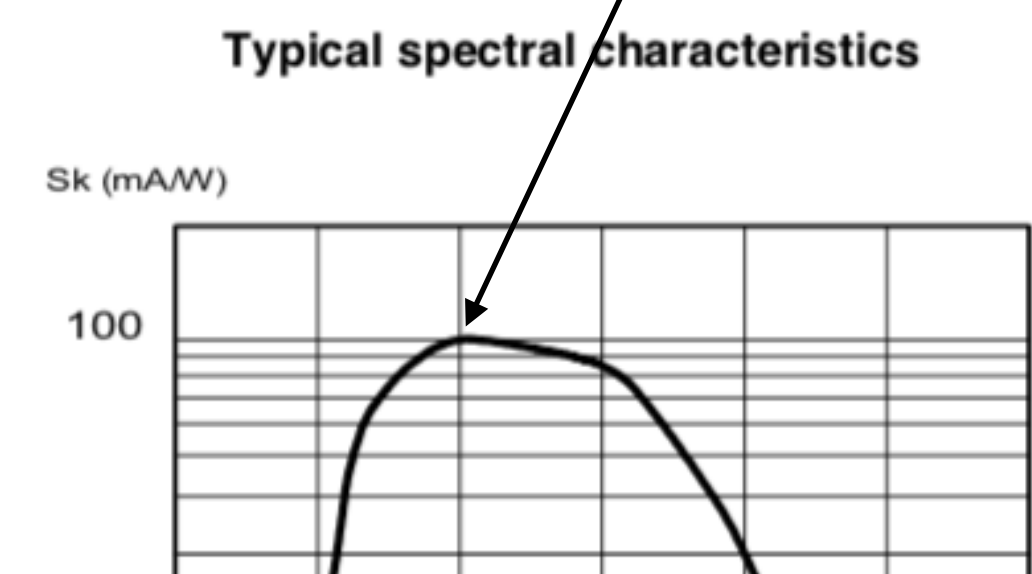
$$QE = \frac{S \cdot 1240}{\lambda} \cdot 100(\%)$$

#### Typical gain curve



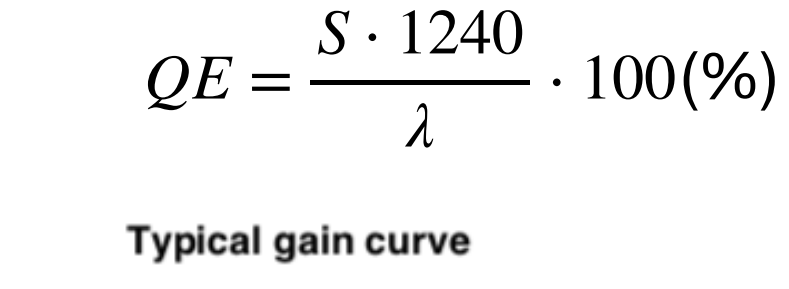
### **Photo Multiplier Tube**

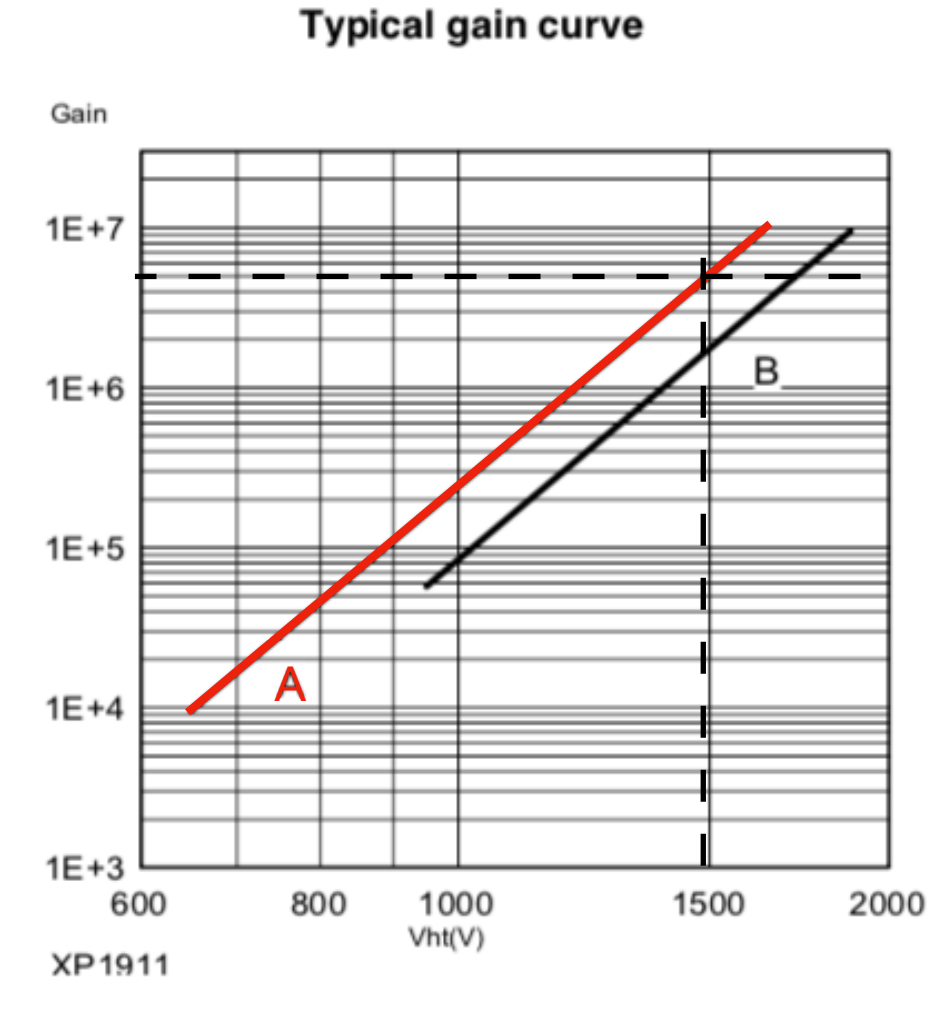
PMT	QE	Gain	Rise Time	Wavelength
Properties	(% at peak)	(1500V)	(ns)	(nm)
XP1911	~31	5.1 · 10 <sup>6</sup>	2.5	300 to 700



XP1911

Wavelength (nm)

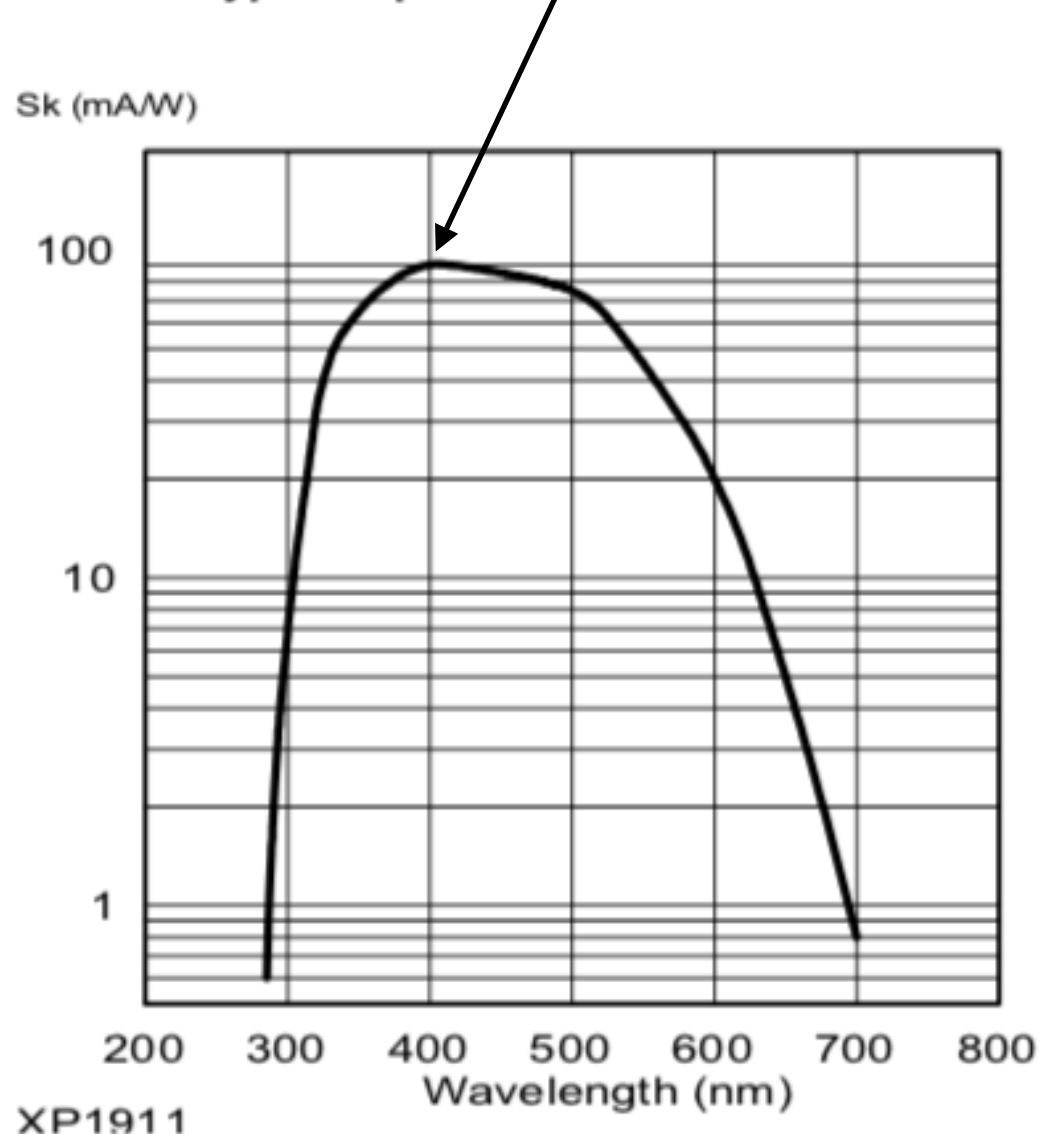




### **Photo Multiplier Tube**

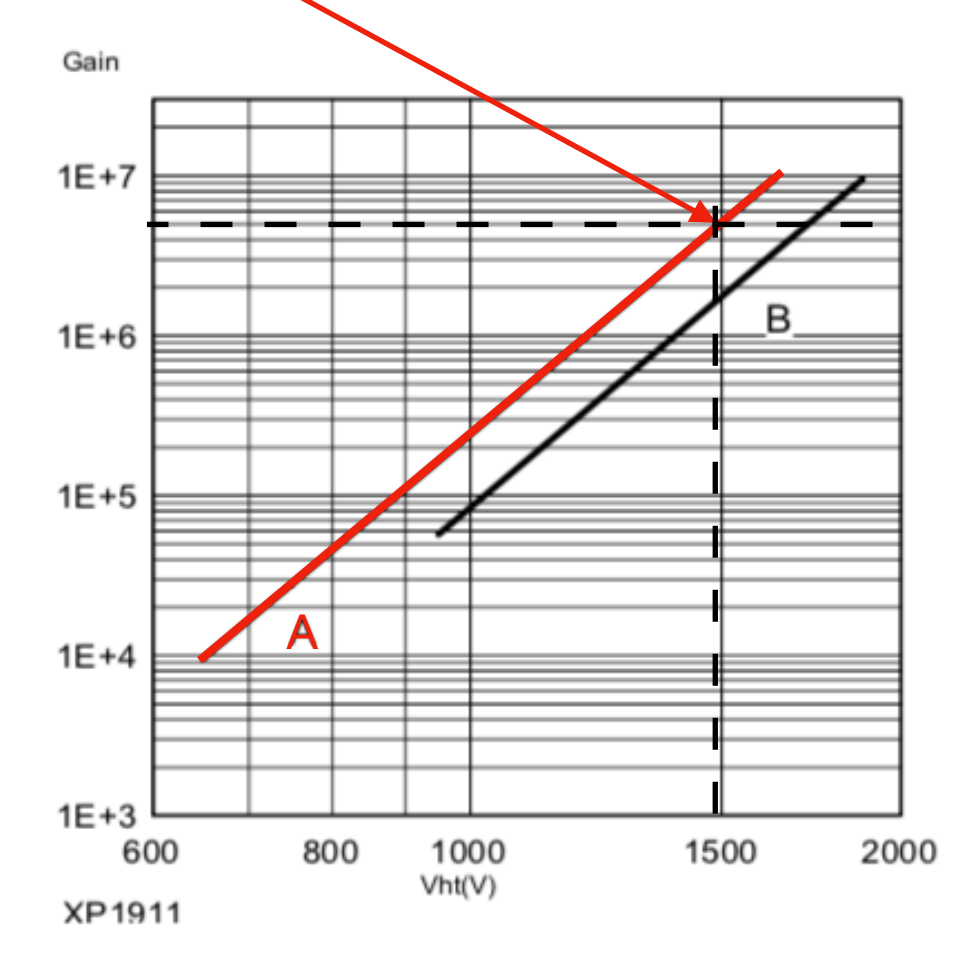
PMT	QE	Gain	Rise Time	Wavelength
Properties	(% at peak)	(1500V)	(ns)	(nm)
XP1911	~31	5.1 · 10 <sup>6</sup>	2.5	300 to 700





$$QE = \frac{S \cdot 1240}{\lambda} \cdot 100(\%)$$

#### Typical gain curve

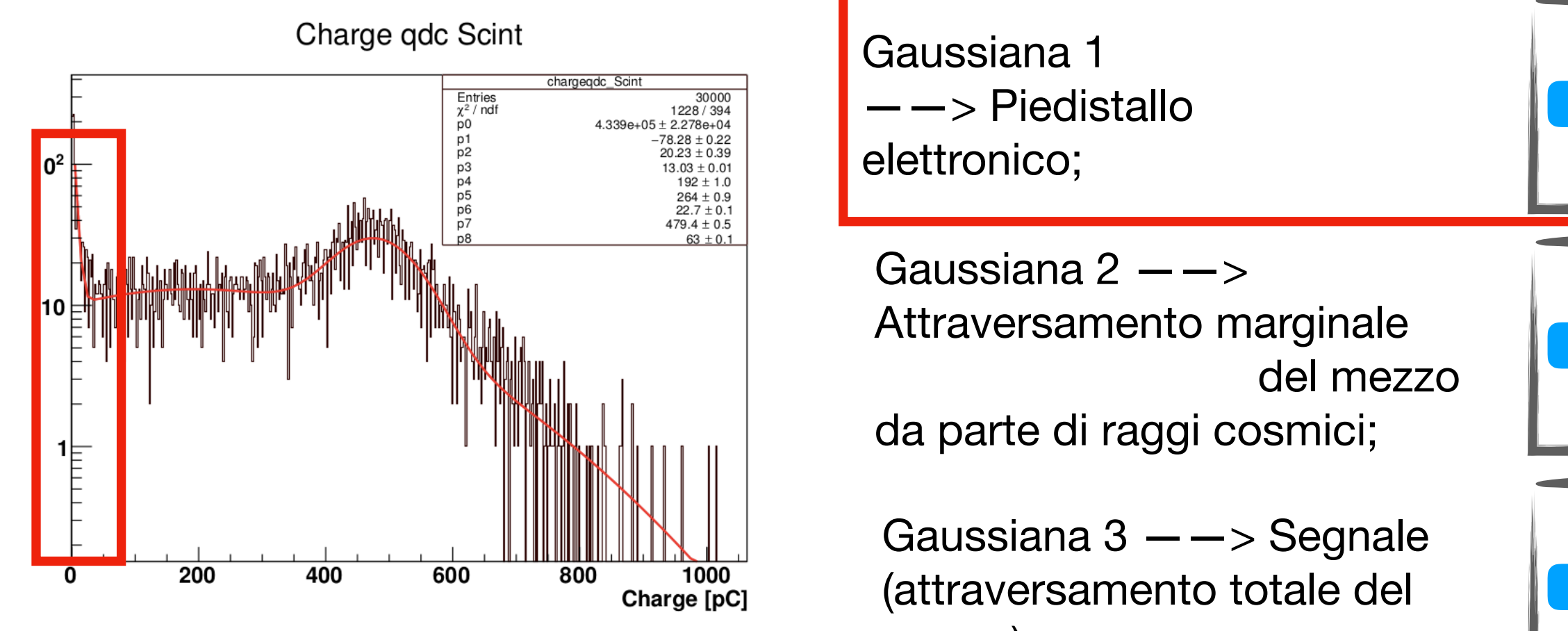


## Charge

#### Cosmic ray effects

Le distribuzioni di guadagno in carica degli scintillatori sono fittate con una somma di tre gaussiane, di cui solo l'ultima riguarda il fenomeno studiato.

$$f(x) = p0*exp(-0.5*((x-p1)/p2)^2)) + p3*exp(-0.5*((x-p4)/p5)^2)) + p6*exp(-0.5*((x-p7)/p8)^2))$$



NB: Nella tesi verrà effettuato un Rebin

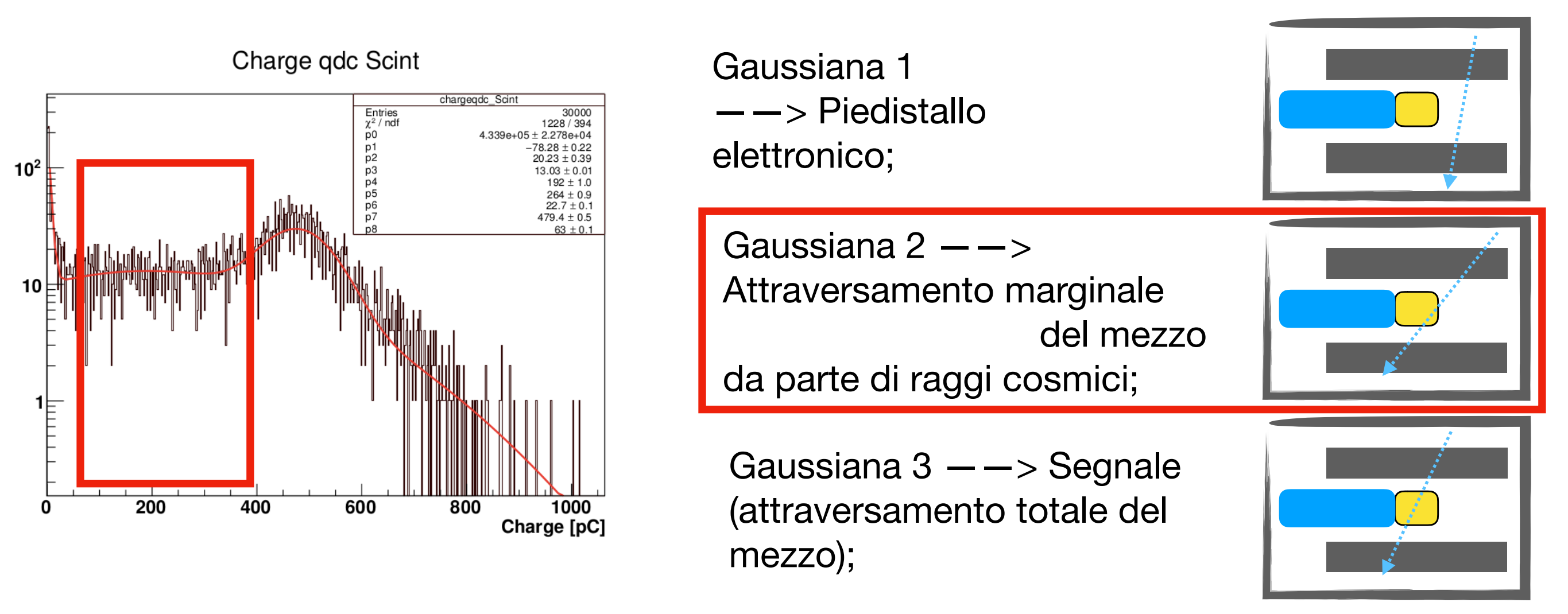
mezzo);

Nei casi in cui il guadagno in carica è molto basso (come per l'Anthracene), le tre gaussiane si sovrappongono, per cui viene effettuato un unico fit gaussiano nell'unico picco di segnale evidente.

#### **Cosmic ray effects**

Le distribuzioni di guadagno in carica degli scintillatori sono fittate con una somma di tre gaussiane, di cui solo l'ultima riguarda il fenomeno studiato.

$$f(x) = p0*exp(-0.5*((x-p1)/p2)^2)) + p3*exp(-0.5*((x-p4)/p5)^2)) + p6*exp(-0.5*((x-p7)/p8)^2))$$

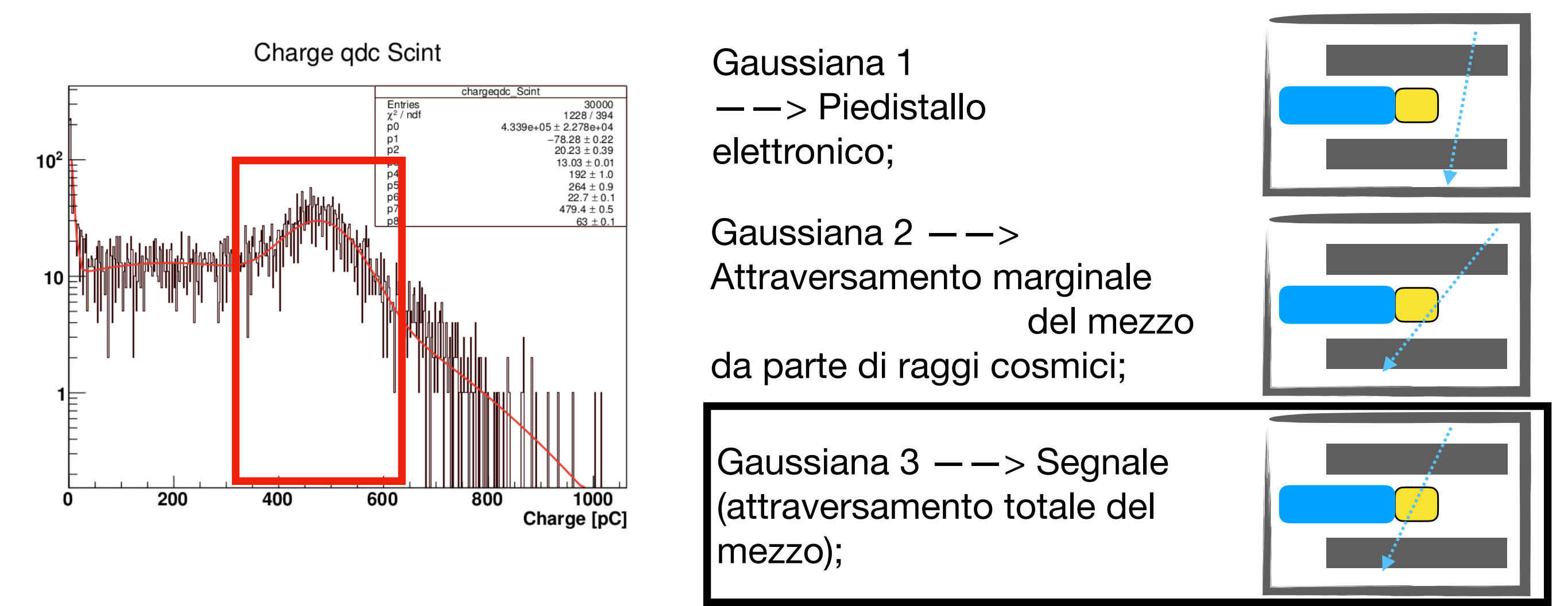


Nei casi in cui il guadagno in carica è molto basso (come per l'Anthracene), le tre gaussiane si sovrappongono, per cui viene effettuato un unico fit gaussiano nell'unico picco di segnale evidente.

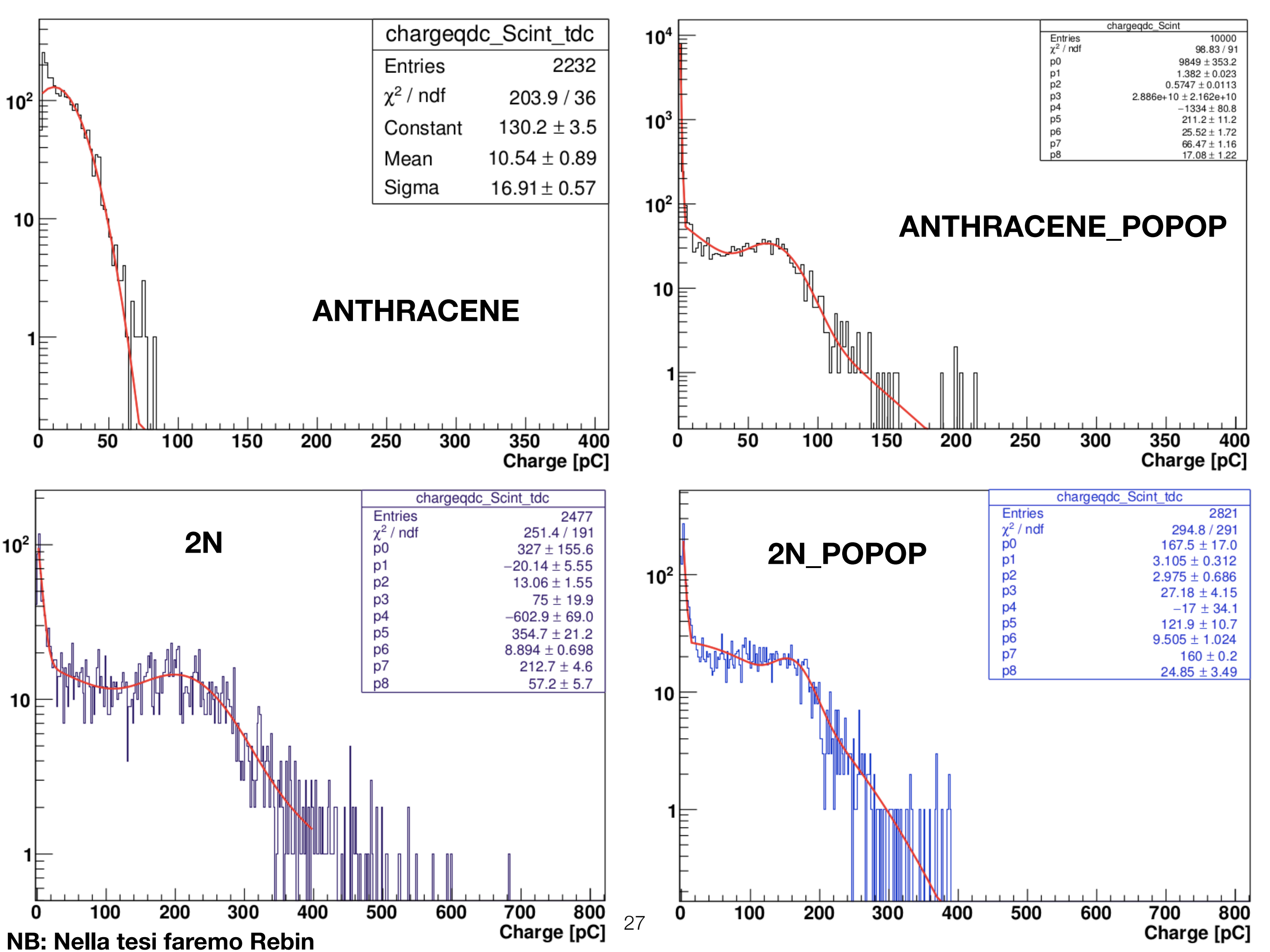
#### **Cosmic ray effects**

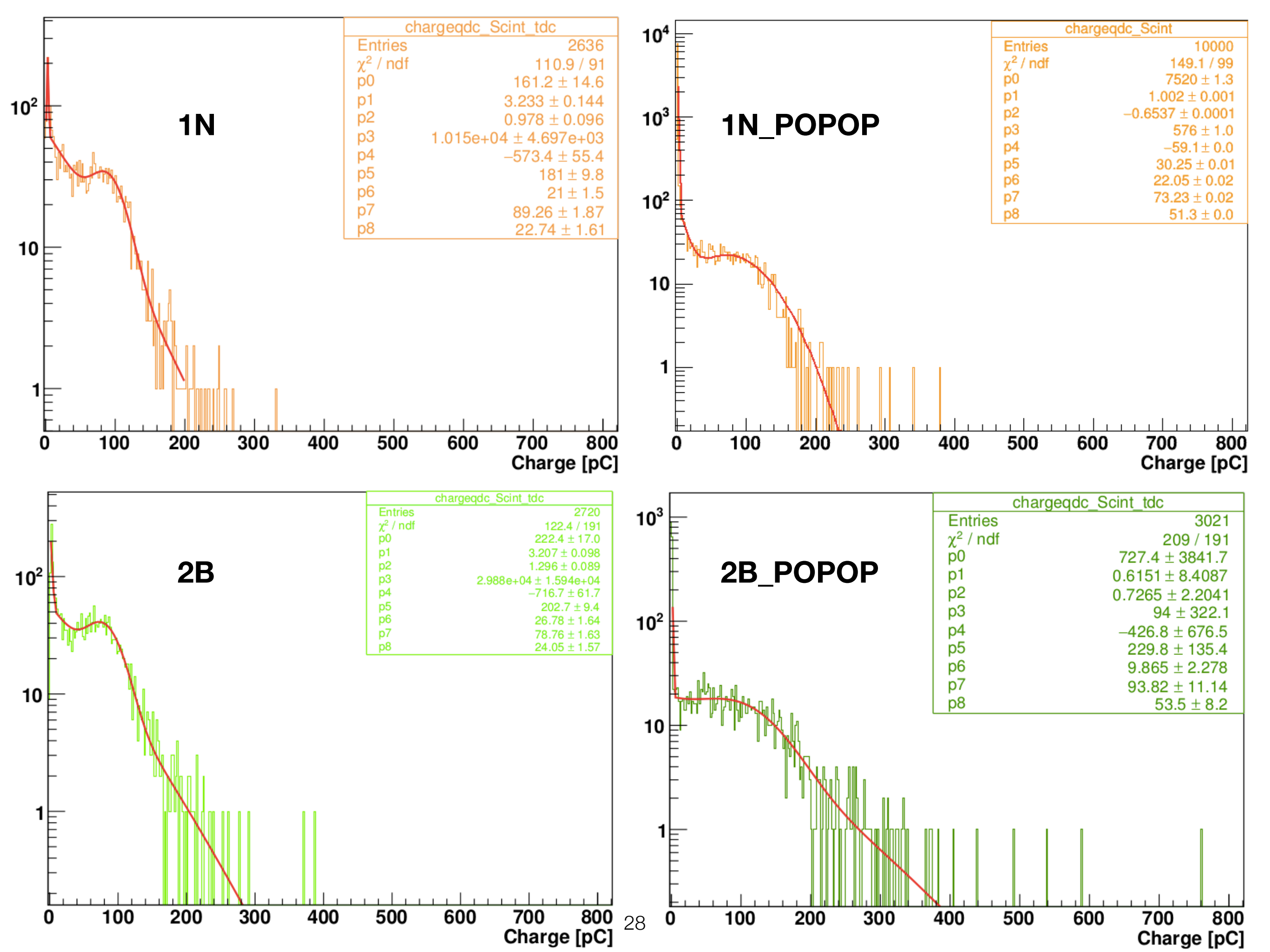
Le distribuzioni di guadagno in carica degli scintillatori sono fittate con una somma di tre gaussiane, di cui solo l'ultima riguarda il fenomeno studiato.

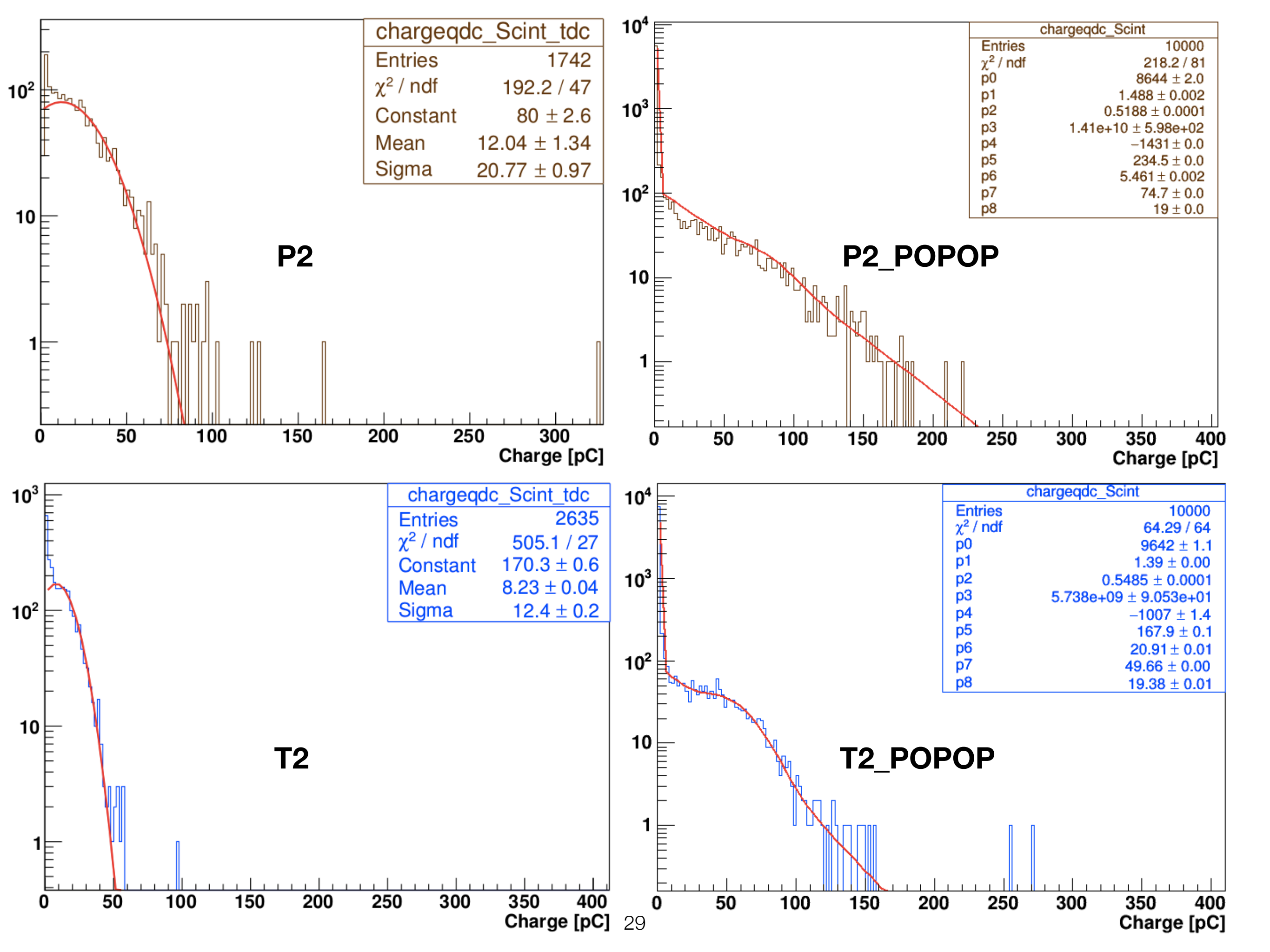
$$f(x) = p0*exp(-0.5*((x-p1)/p2)^2)) + p3*exp(-0.5*((x-p4)/p5)^2)) + p6*exp(-0.5*((x-p7)/p8)^2))$$



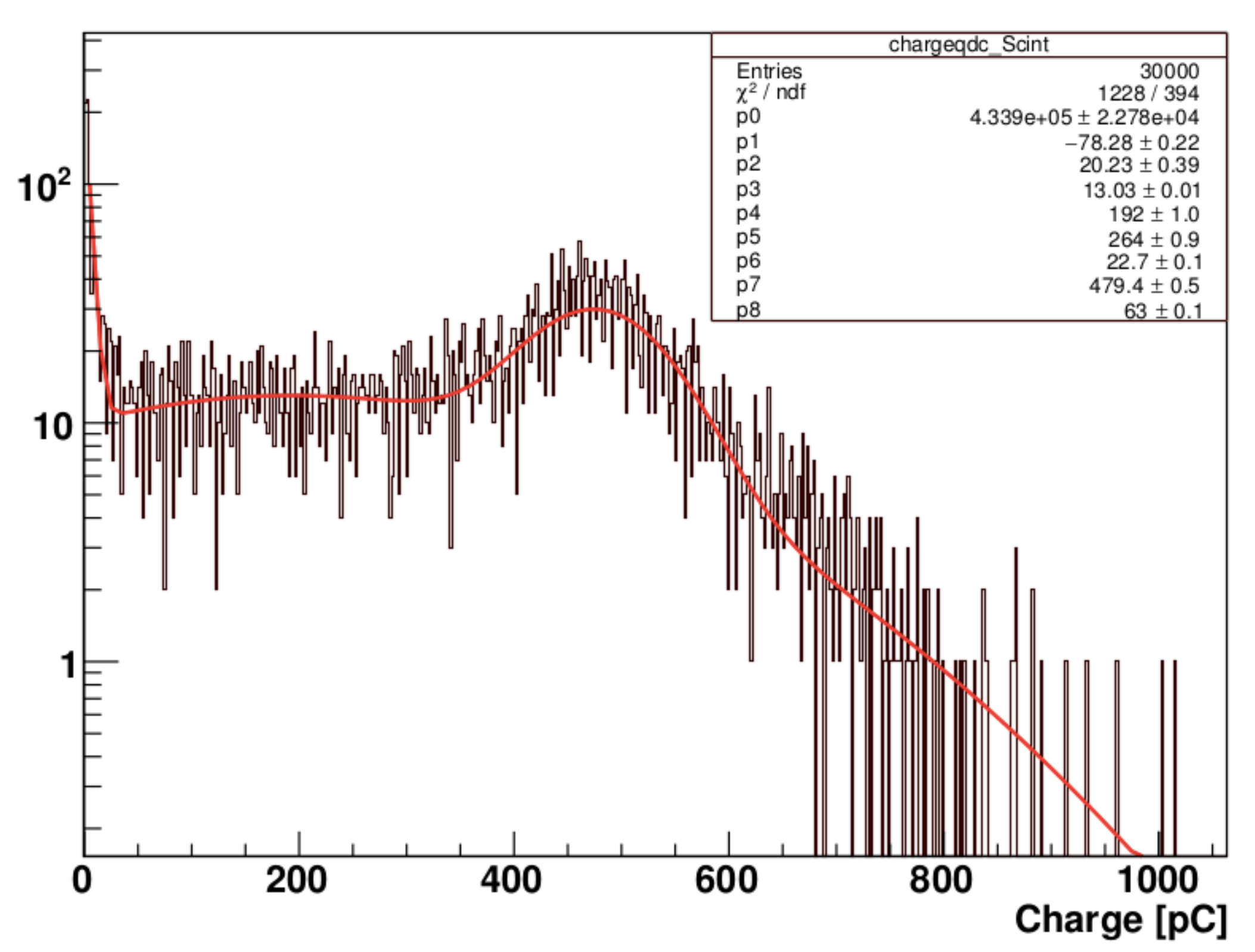
Nei casi in cui il guadagno in carica è molto basso (come per l'Anthracene), le tre gaussiane si sovrappongono, per cui viene effettuato un unico fit gaussiano nell'unico picco di segnale evidente.





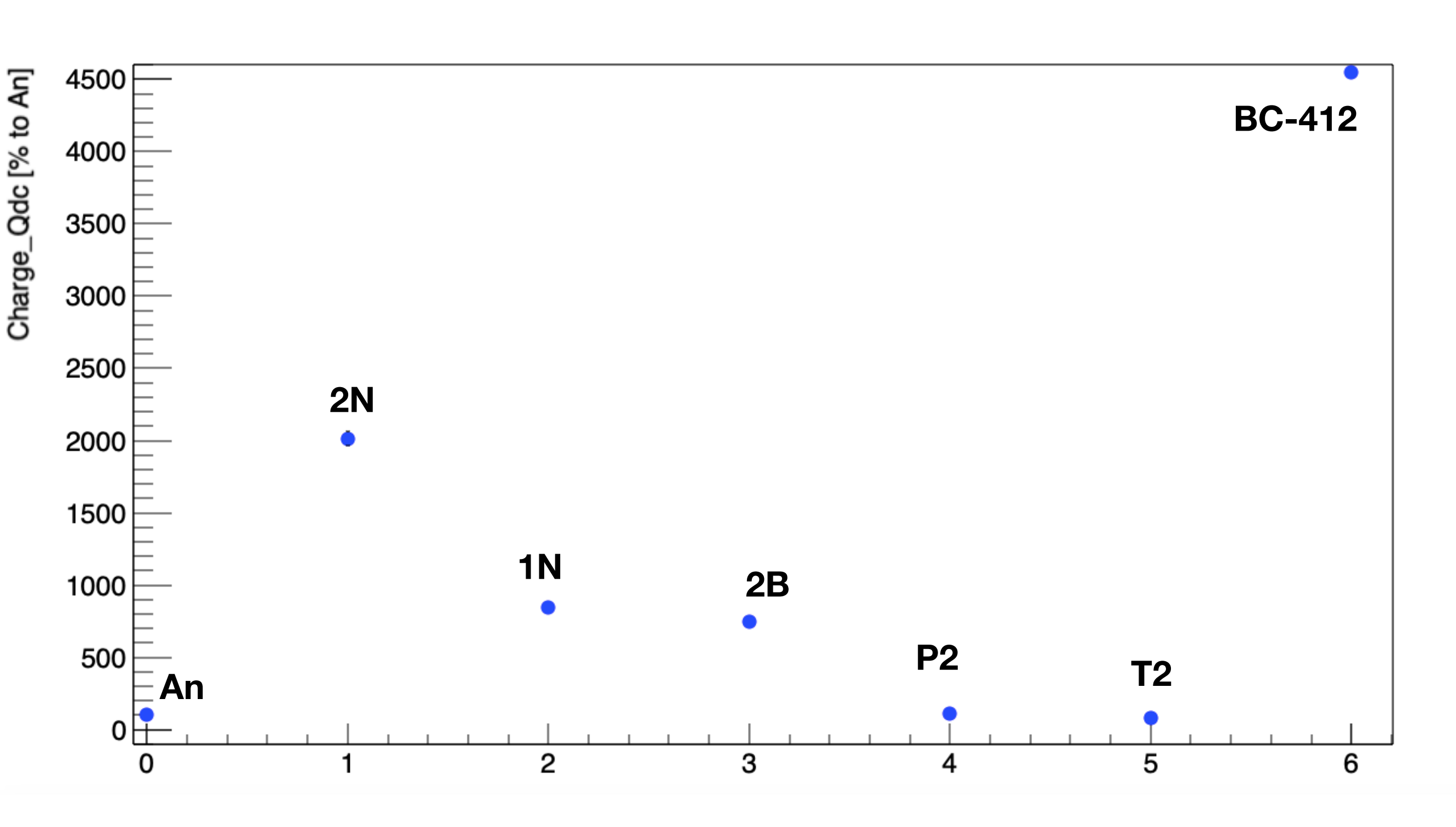


## BC 412

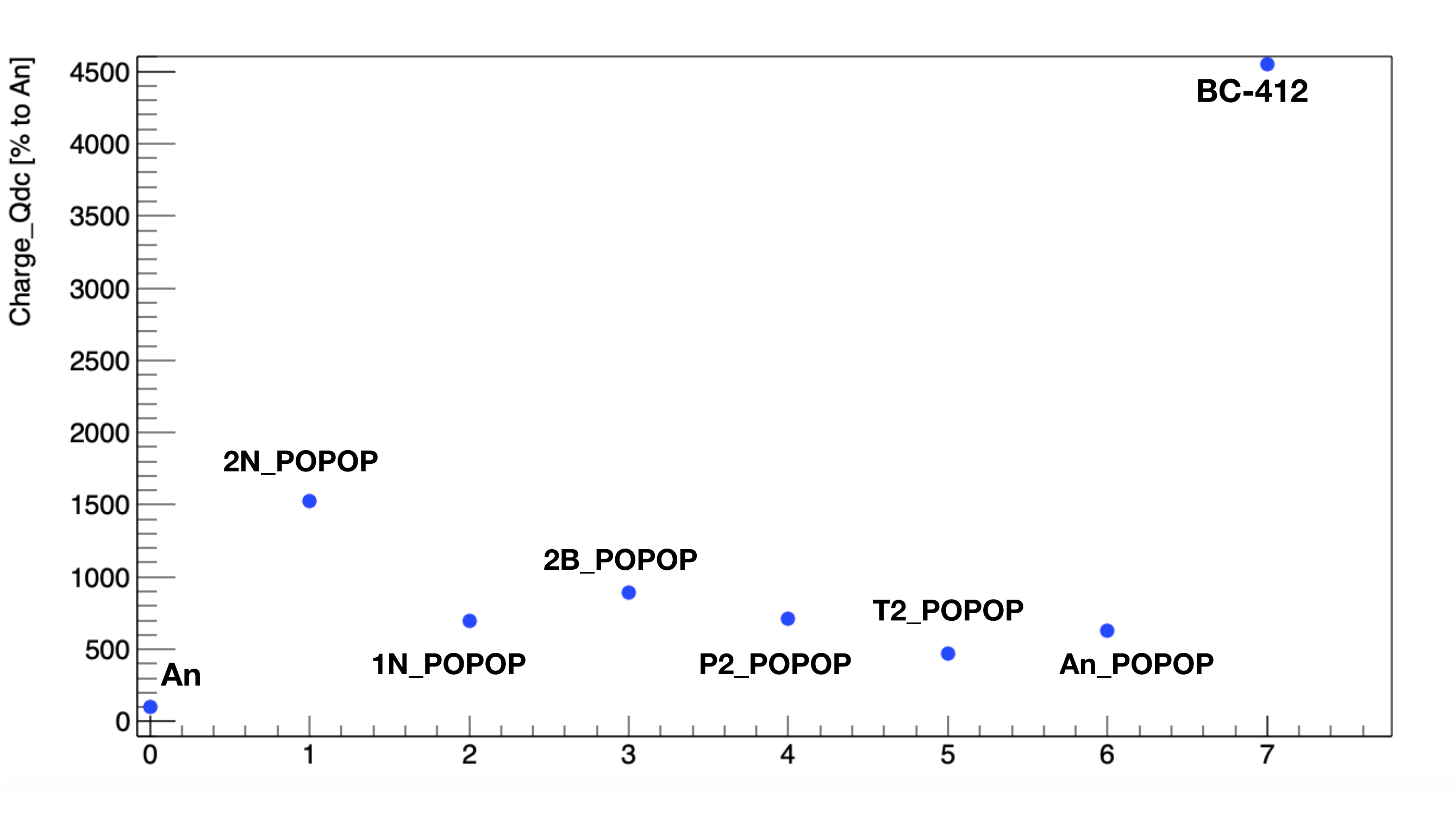


Mean Charge (% to An)	Scintillator	Scintillator + POPOP
BC 412	4548.3 ± 21.9	X
An	100	630.6 ± 11.0
2N	2013.4 ± 48.8	1523.8 ± 28.9
1N	846.9 ± 17.7	694.9 ± 12.9
2B	747.2 ± 15.5	890.1 ± 15.7
P2	114.2 ± 12.7	708.7 ± 16.5
<b>T2</b>	78.1 ± 0.4	471.2 ± 10.6

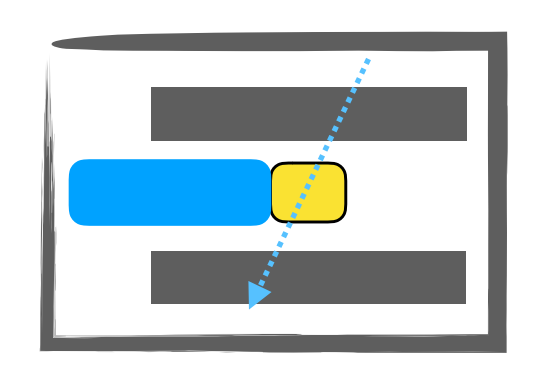
## Plot Charge [% to An] Scintillators



#### Plot Charge [% to An] Scintillators + POPOP



### Time Resolution



### Calculation

Le risoluzioni temporali sono ricavate attraverso le seguenti relazioni.

Dal grafico STS1-STS2 (per semplicità ΔTime), si ricava la σ=σ<sub>Δtime</sub>, da cui: (σ<sub>STS1</sub>=σ<sub>STS2</sub>)

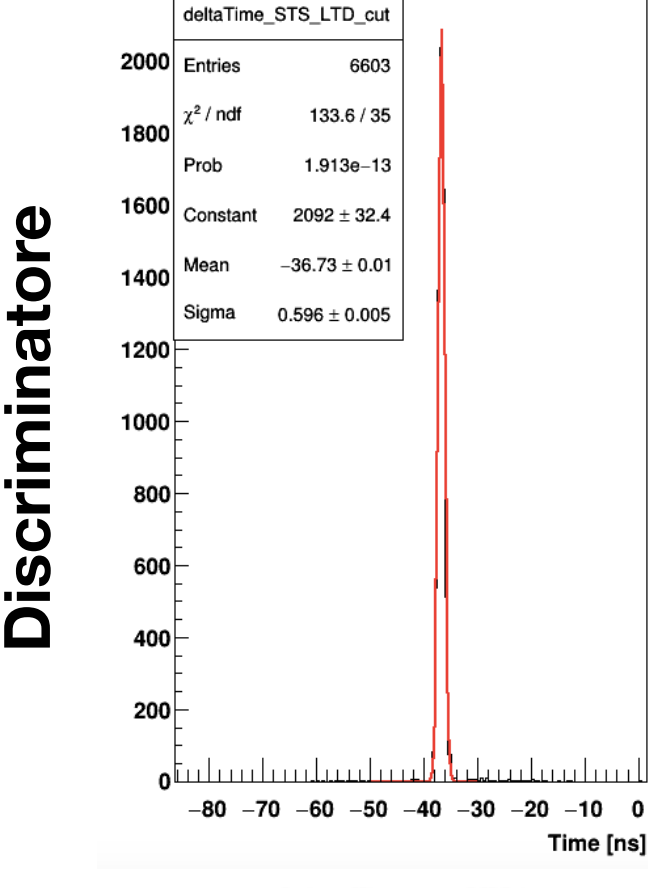
$$\sigma_{\Delta time} = \sqrt{\sigma_{STS1}^2 + \sigma_{STS2}^2} = \sqrt{2}\sigma_{STS2}$$
.

2) Dal grafico Scint-STS2, si ricava la  $\sigma = \sigma_{Scint-STS2}$ , da cui:

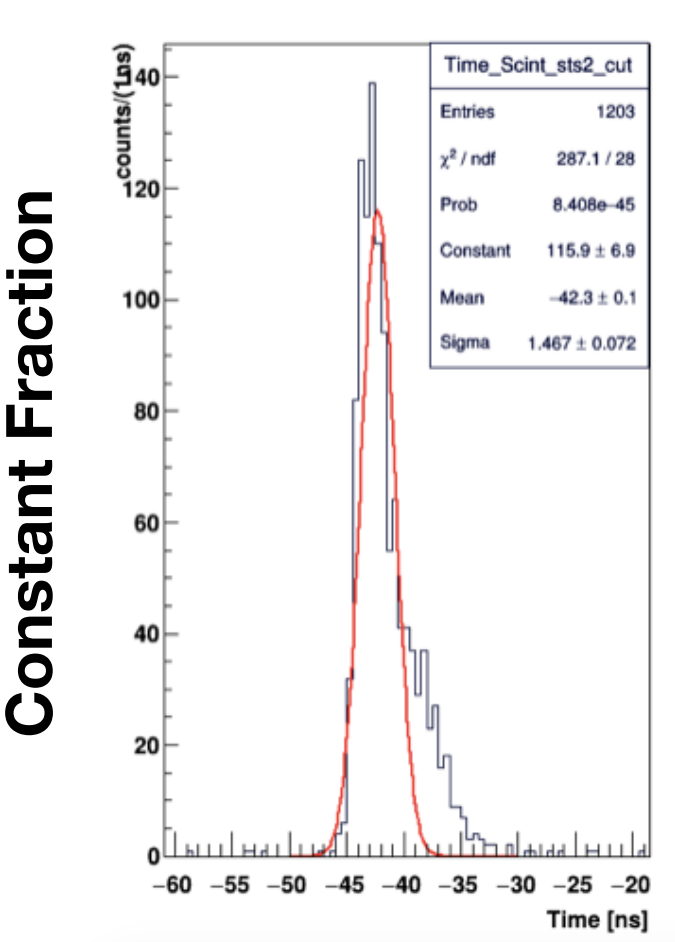
$$\sigma_{Scint-STS2} = \sqrt{\sigma_{Scint}^2 + \sigma_{STS2}^2} .$$

3) Si ottiene quindi il valore della risoluzione temporale dello scintillatore confrontando i due risultati ottenuti graficamente, per cui:

$$\sigma_{Scint} = \sqrt{\sigma_{Scint-STS2}^2 - \sigma_{STS2}^2}.$$



Scint Times to STS2

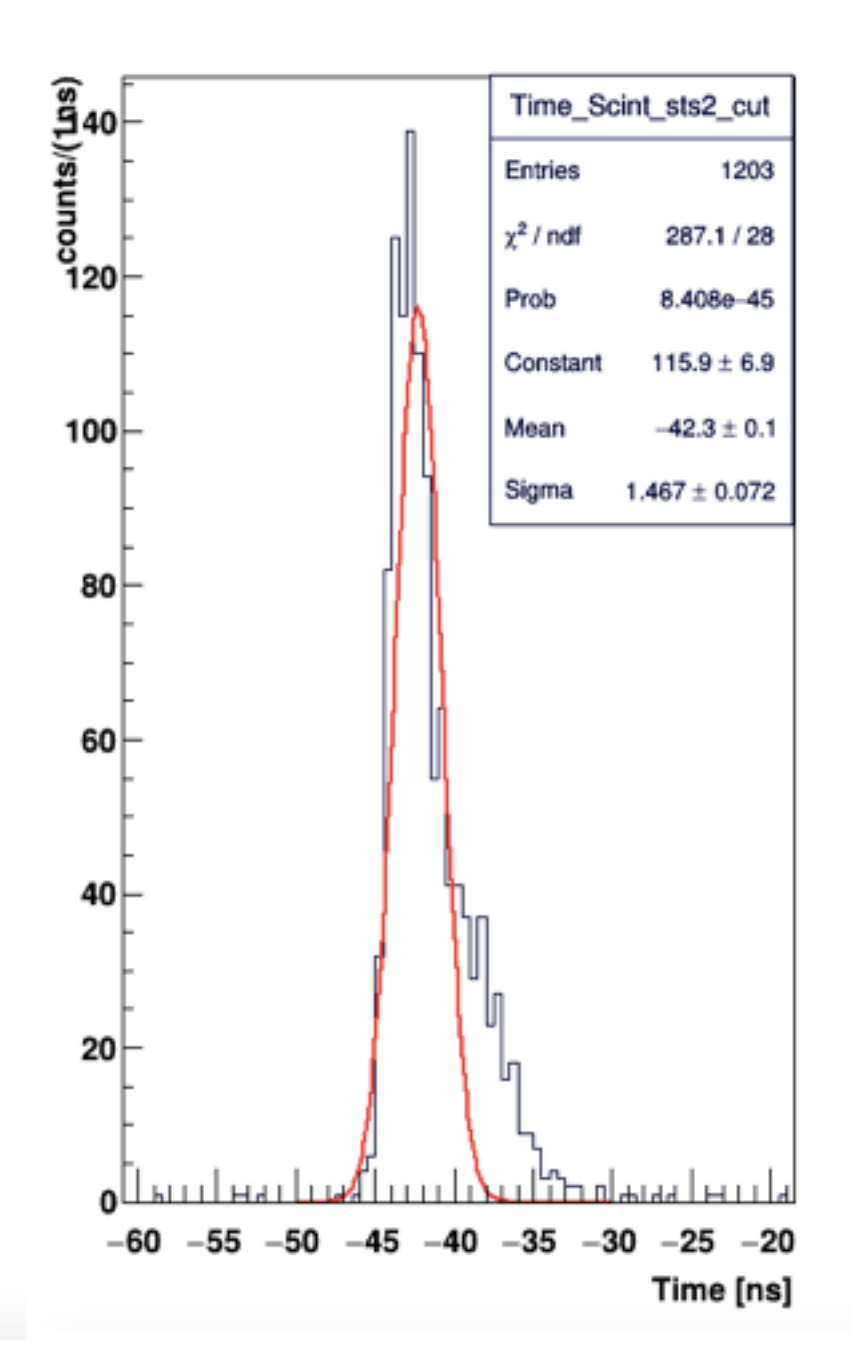


#### AN(1%)\_Solido

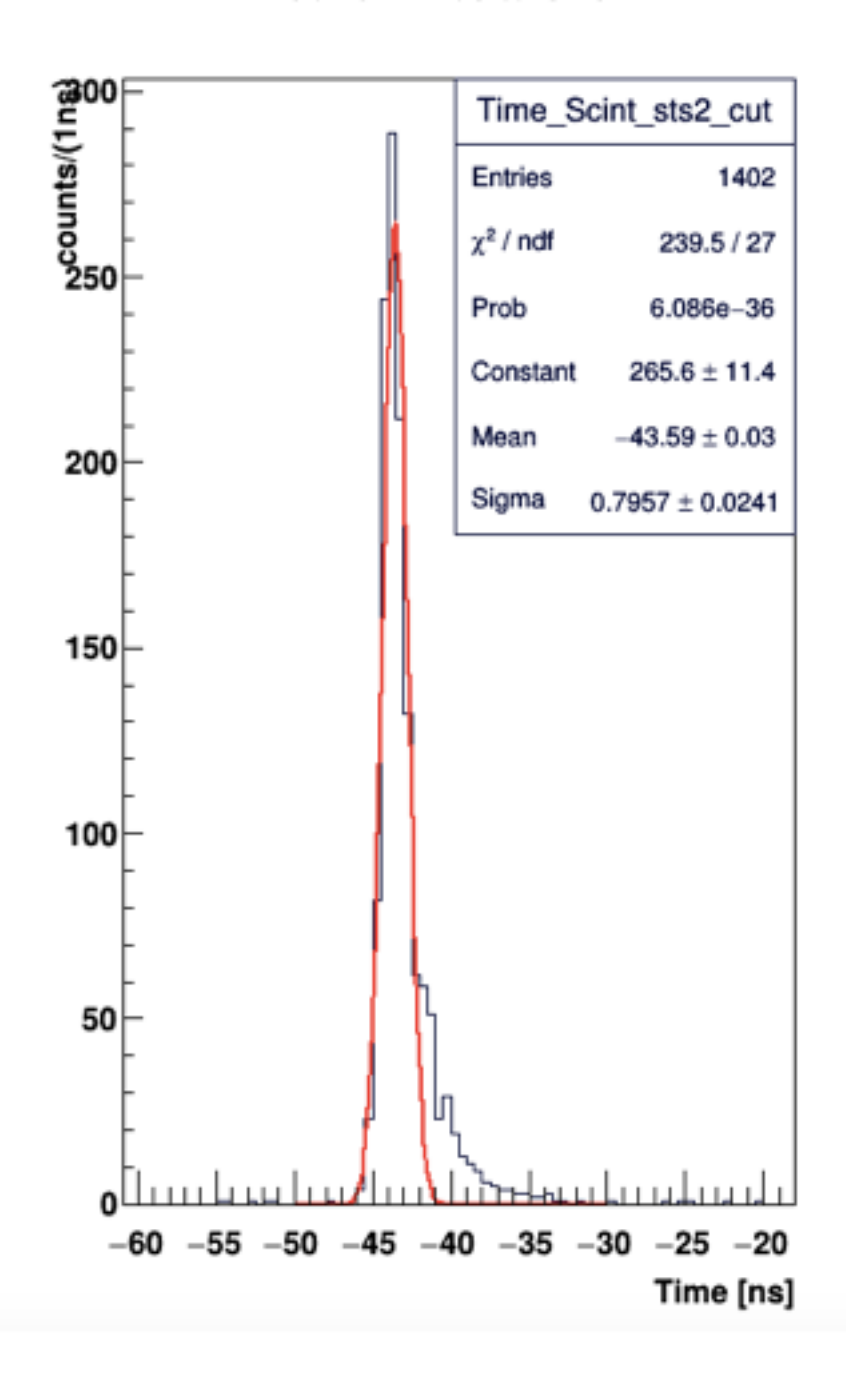
#### AN(1%)\_Solido\_POPOP

Δ Time STS1-STS2 LTD deltaTime\_STS\_LTD\_cut 2000 Entries 6603 χ² / ndf 133.6 / 35 1800 Prob 1.913e-13 1600 Constant  $2092 \pm 32.4$  $-36.73 \pm 0.01$ Mean 1400 Sigma  $0.596 \pm 0.005$ 1200 1000 800 600 400 200 0[11] -80 -70 -60 -50 -40 -30 -20 -10

Scint Times to STS2



Scint Times to STS2



 $\sigma_{sts2}=0.421 \pm 0.004 \text{ ns}$ 

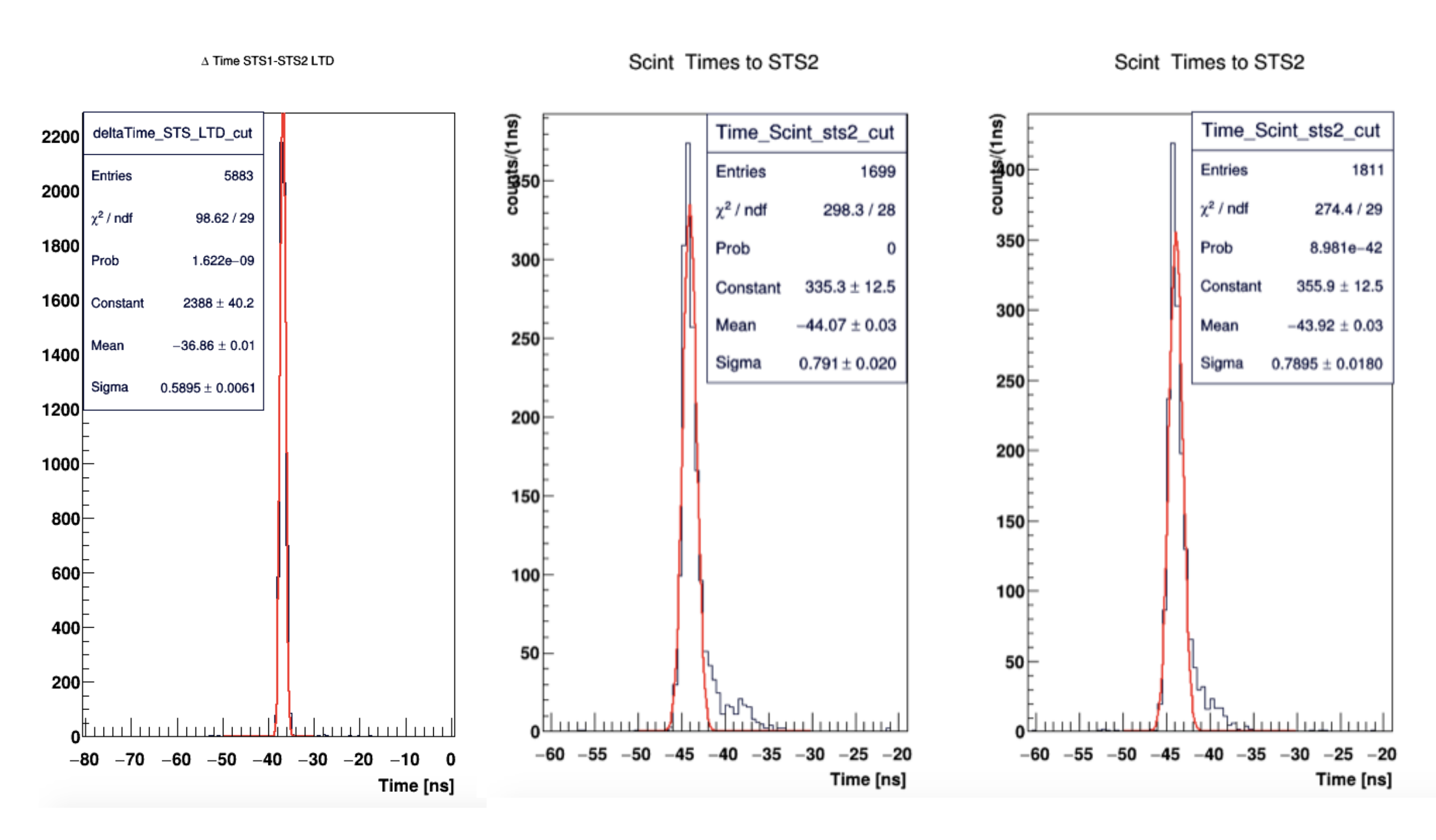
Time [ns]

$$\sigma$$
=1.467 ± 0.072 ns

$$\sigma$$
=0.796 ± 0.024 ns

#### **2N(1%)\_Solido**

#### 2N(1%)\_Solido\_POPOP



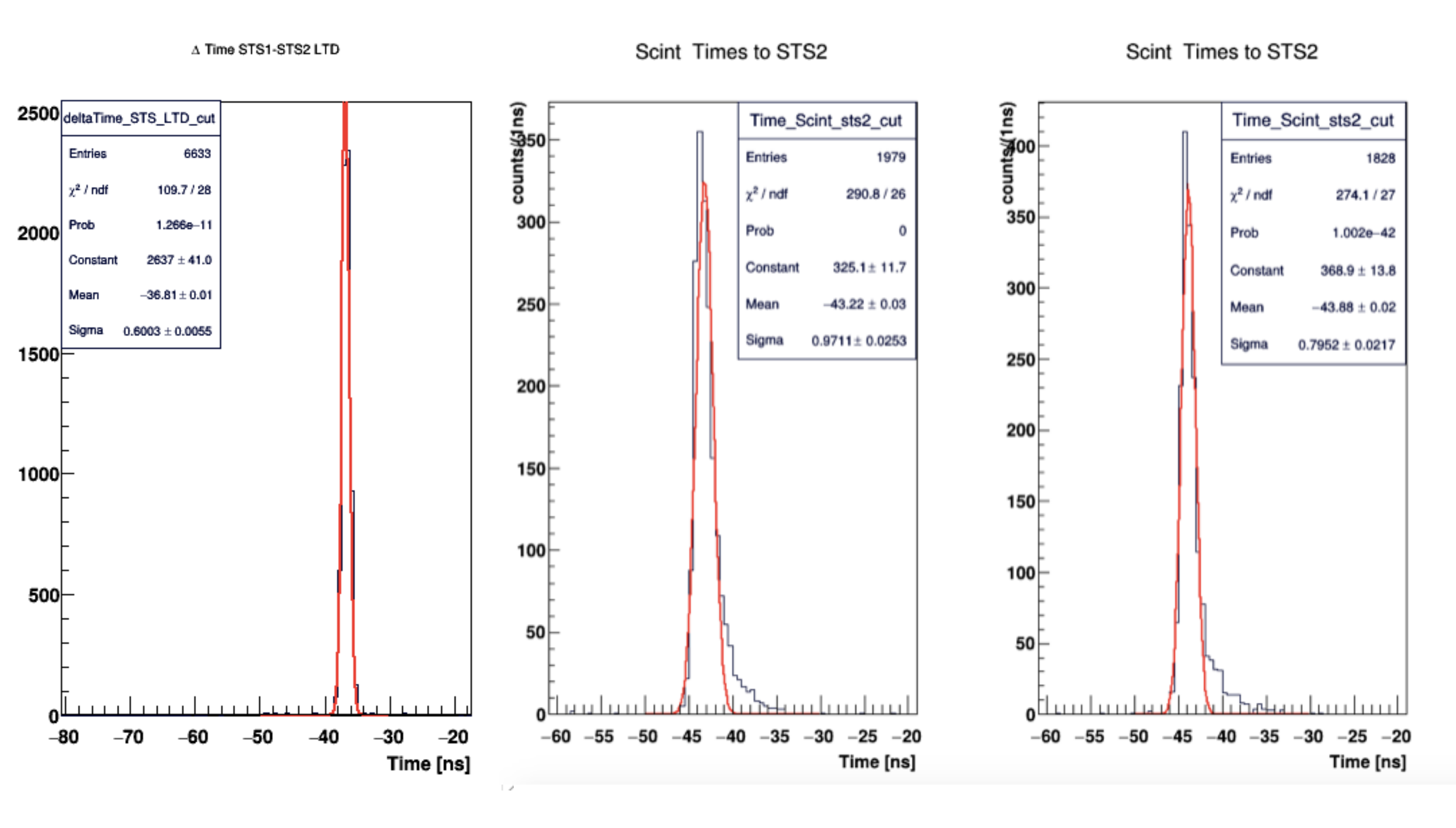
 $\sigma_{sts2}=0.417 \pm 0.004 \text{ ns}$ 

 $\sigma$ =0.791 ± 0.020 ns

 $\sigma$ =0.790 ± 0.018 ns

#### 2B(1%)\_Solido

#### 2B(1%)\_Solido\_POPOP



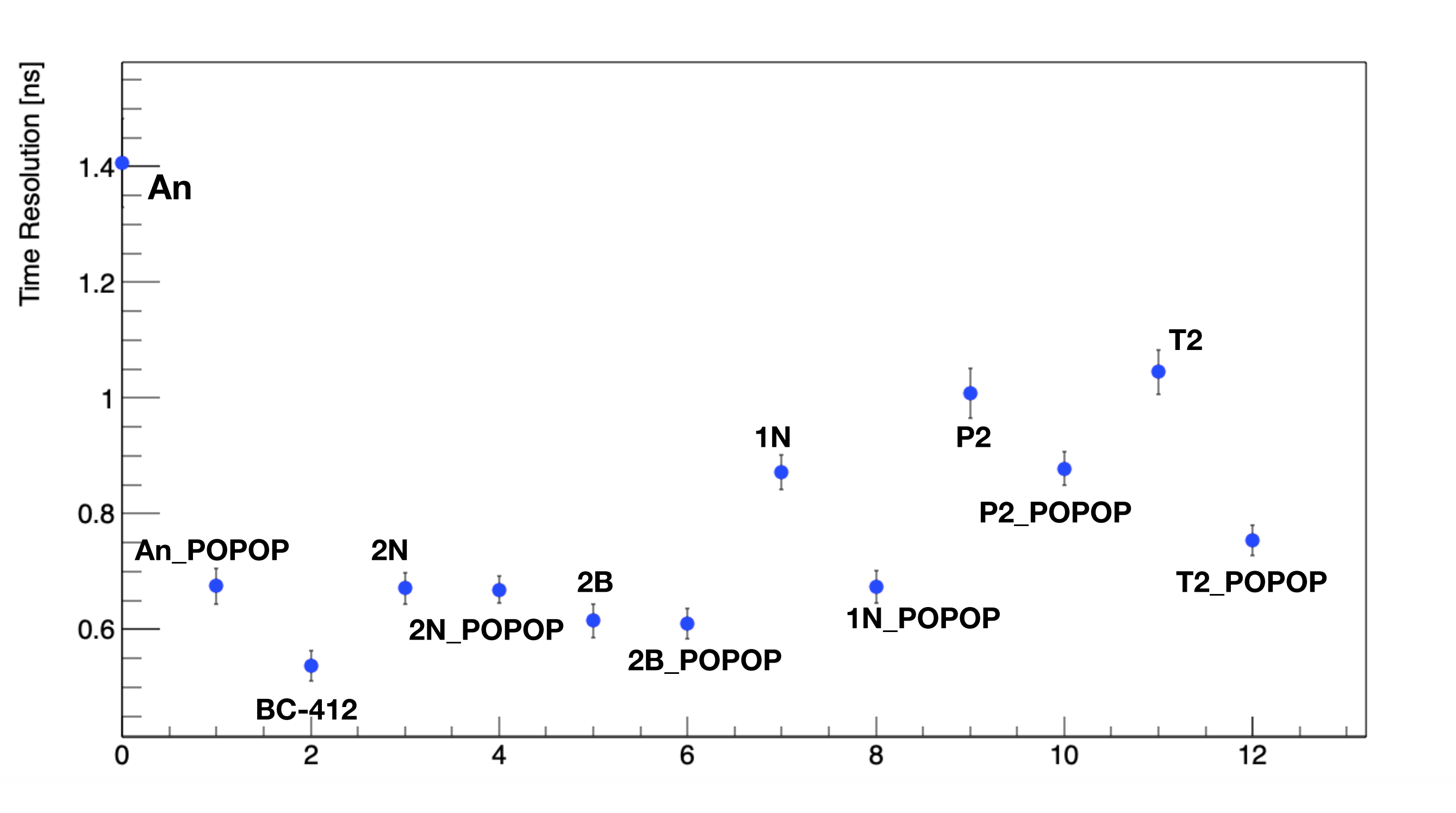
 $\sigma_{sts2}=0.426 \pm 0.004 \text{ ns}$ 

 $\sigma$ =0.971 ± 0.025 ns

 $\sigma$ =0.795 ± 0.022 ns

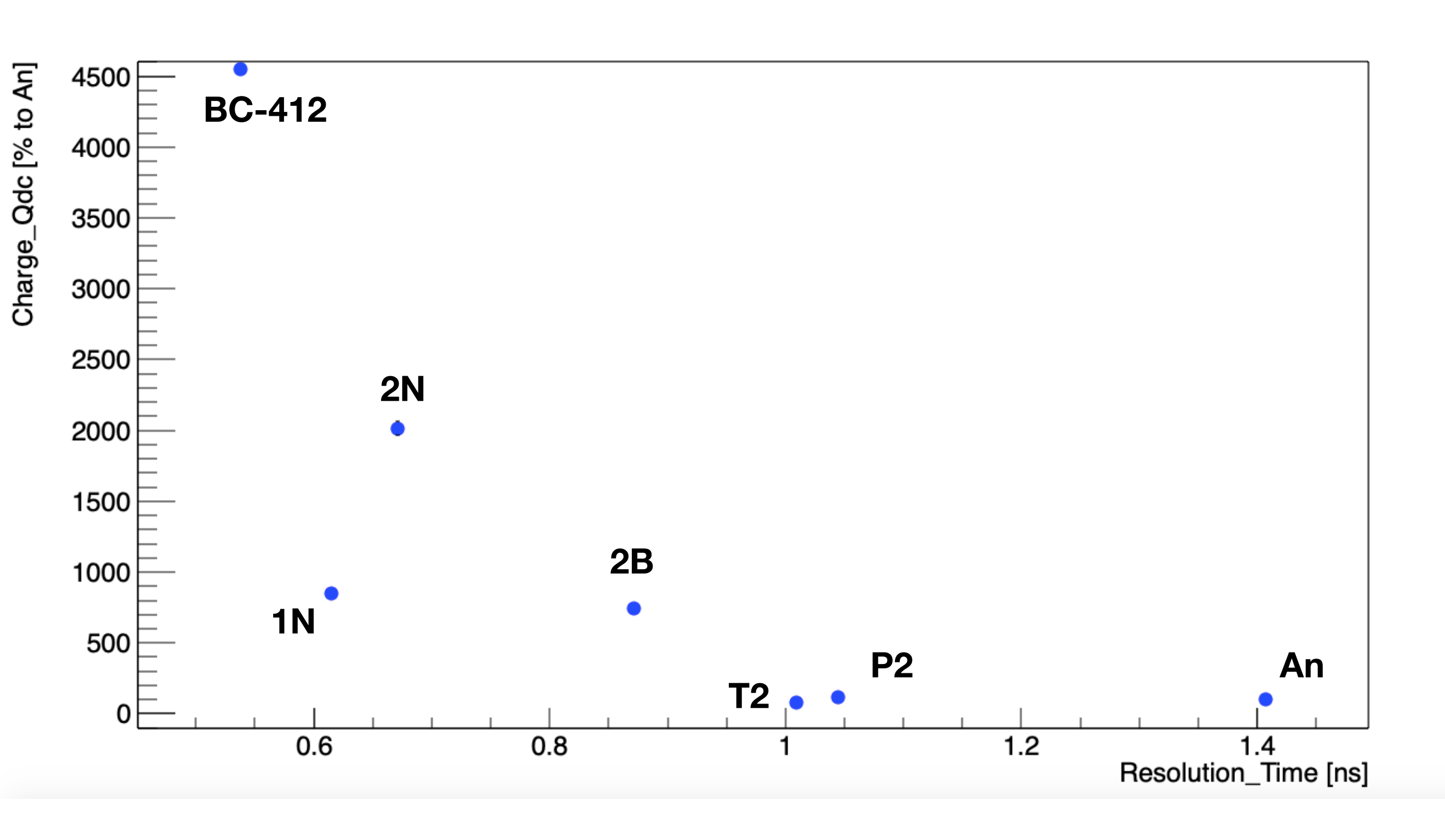
σ_res (ns)	Scintillator	Scintillator + POPOP	
An	1.407 ± 0.077	0.675 ± 0.031	
BC-412	0.538 ± 0.026	X	
2N	0.671 ± 0.027	0.669 ± 0.024	
1N	0.615 ± 0.029	0.610 ± 0.026	
2B	0.871 ± 0.030	0.673 ± 0.028	
<b>T2</b>	1.009 ± 0.043	0.878 ± 0.029	
P2	1.045 ± 0.038	0.754 ± 0.027	

# Plot Time Resolution [ns] Scintillators + POPOP

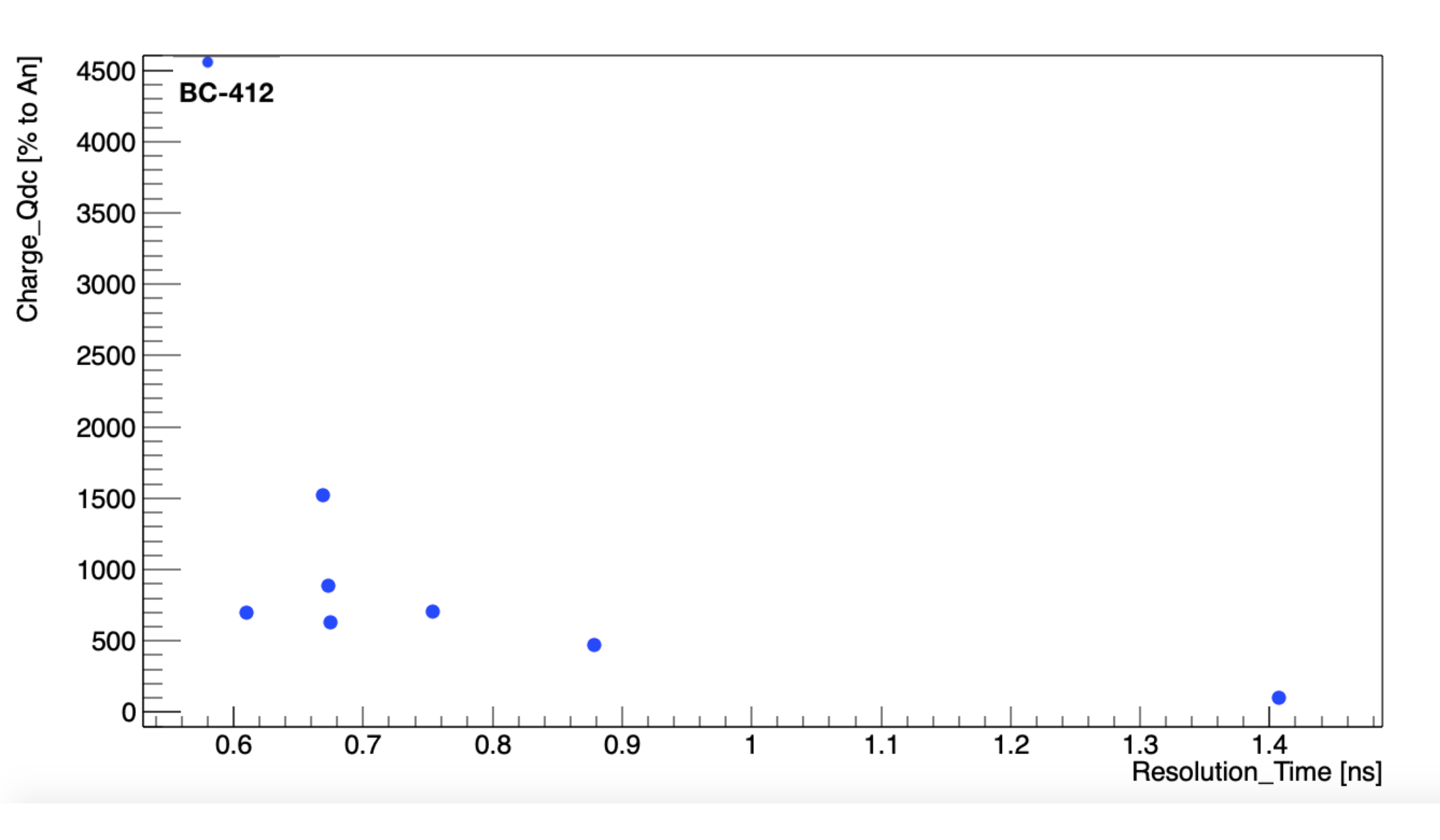


## Plot Charge vs Time Resolution

# Plot Charge [% to An] vs Time Resolution [ns] Scintillators



# Plot Charge [% to An] vs Time Resolution [ns] Scintillators + POPOP

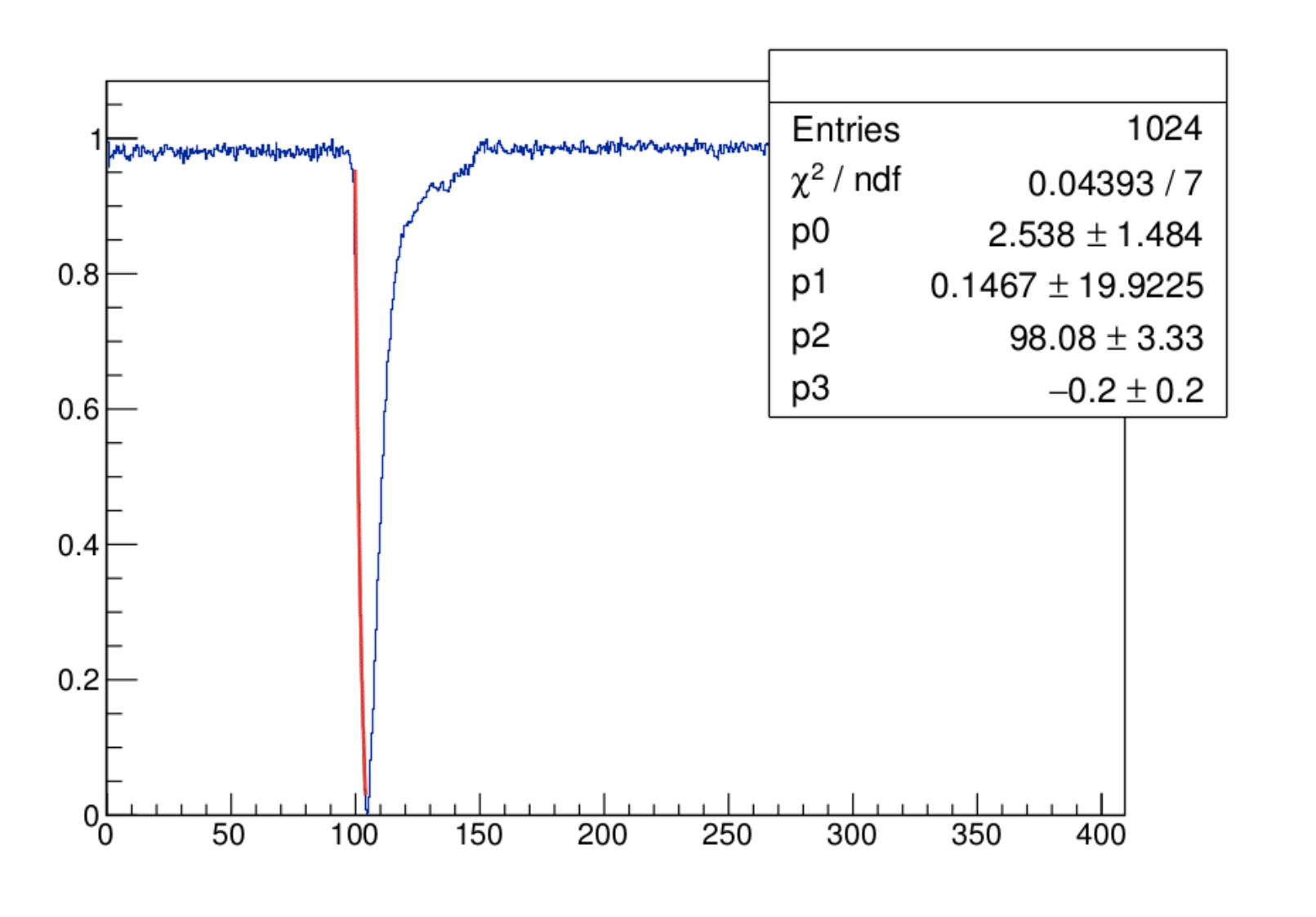


## Rise Time

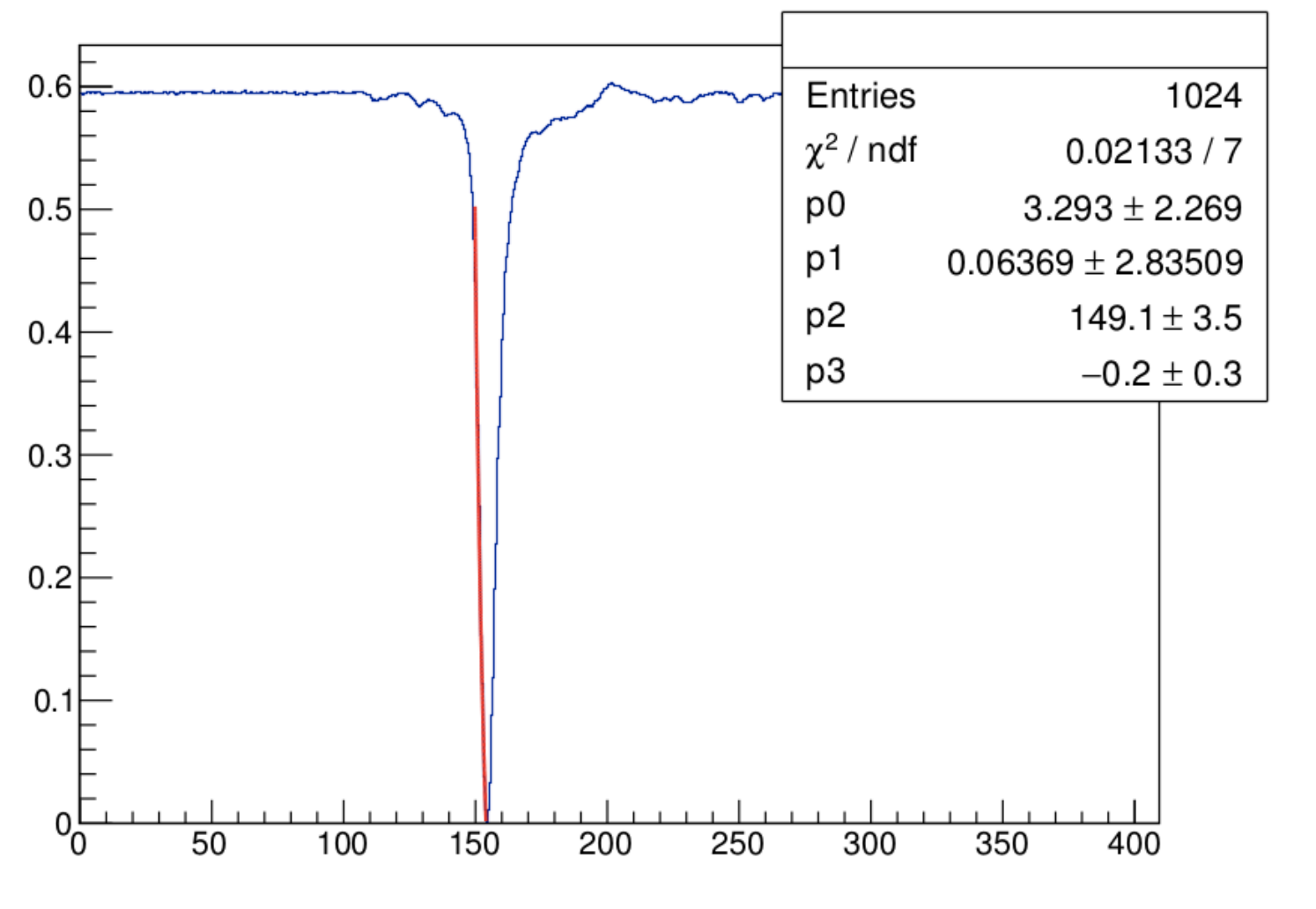
#### Fit del tempo di salita sulla singola onda

Il segnale in funzione del tempo nella regione della salita dell'onda

$$V(t) = V_0 + \frac{At}{\tau_s^2} e^{-\frac{t - t_0}{\tau_s}}$$

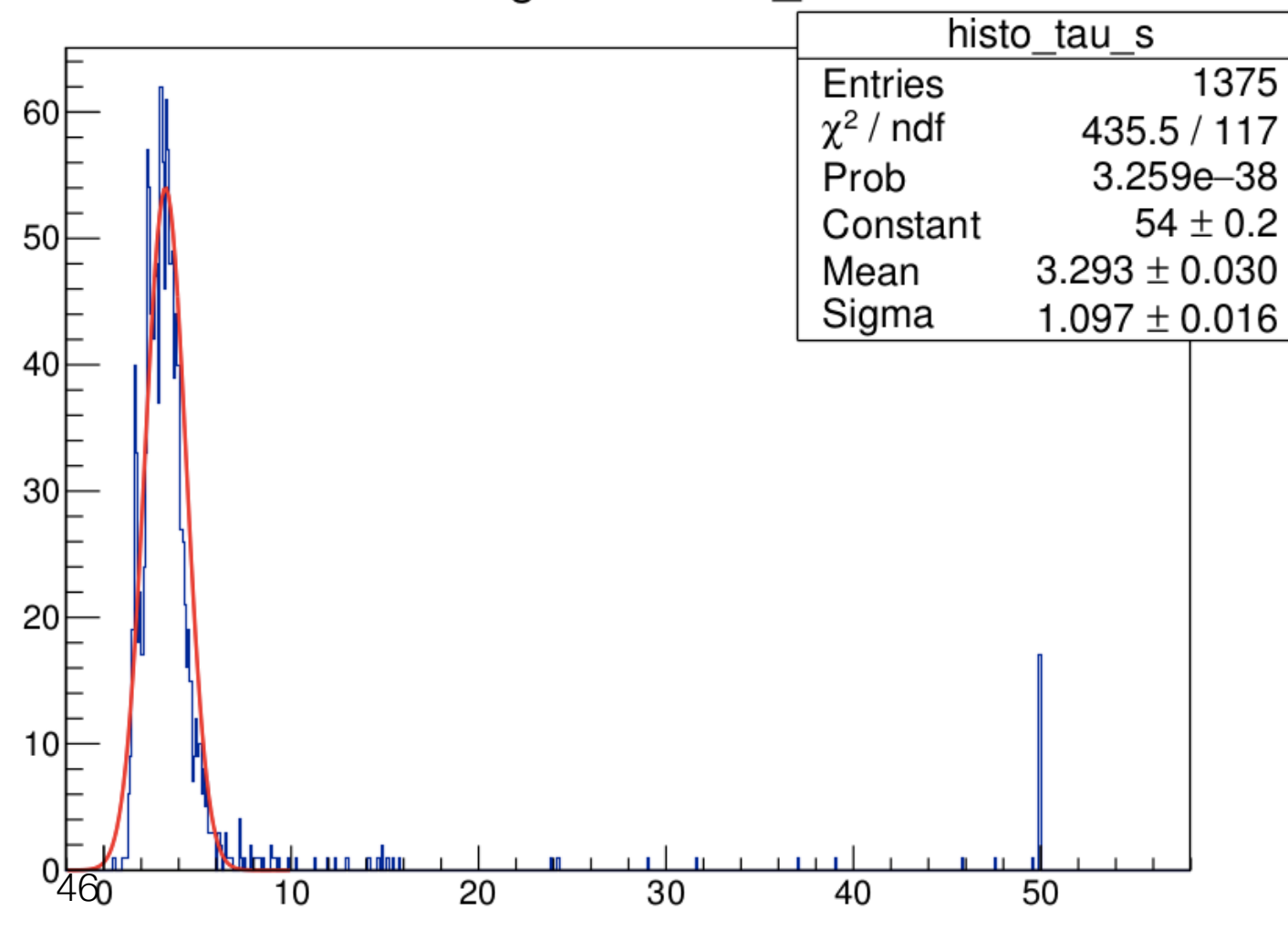


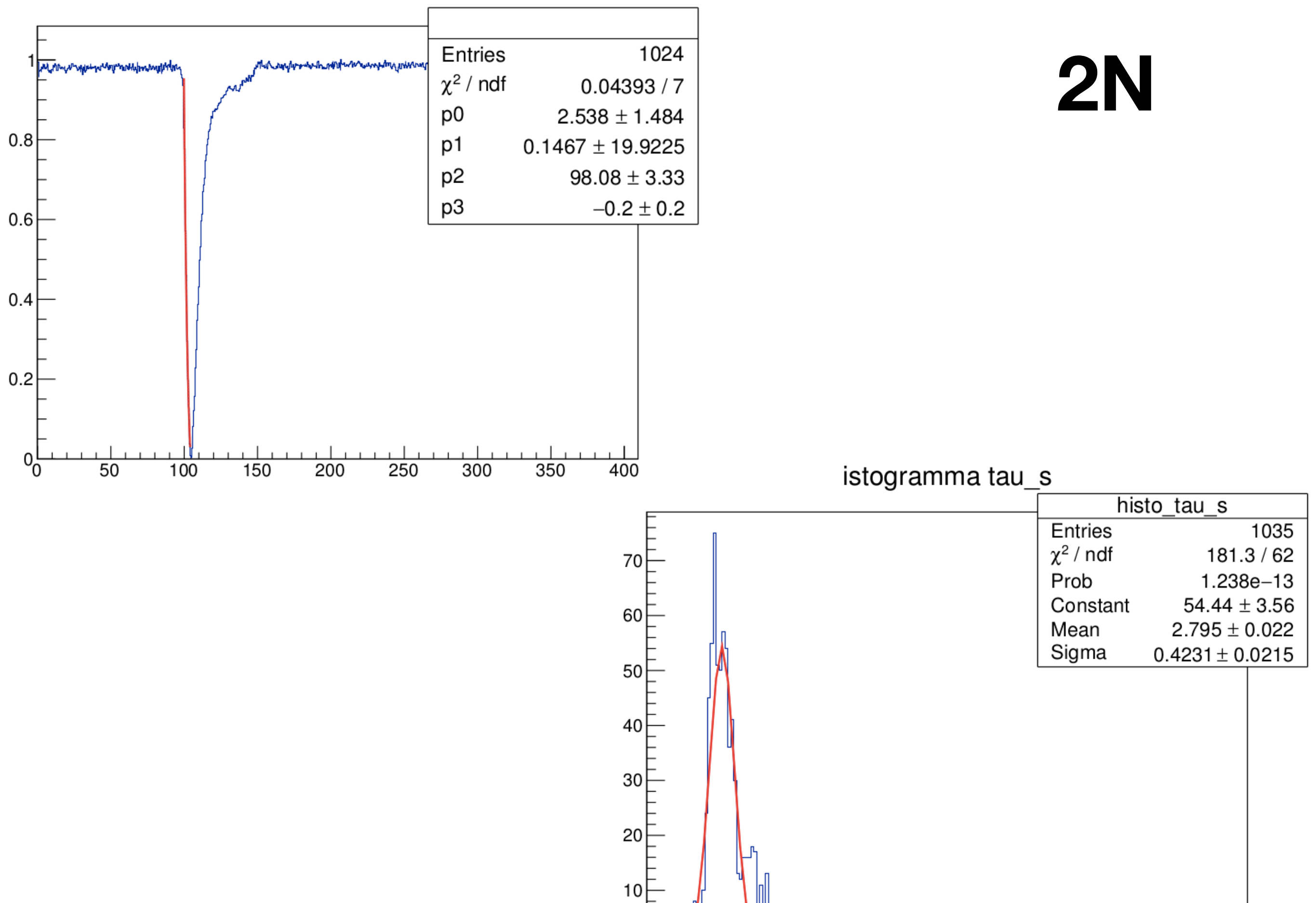
- 1)  $p_0 = \tau_s = \text{Rise time};$
- **2)**  $p_1 = A = Constant;$
- 3)  $p_2 = t_0 = Initial time;$
- **4)**  $p_3 = V_0 = Offset.$

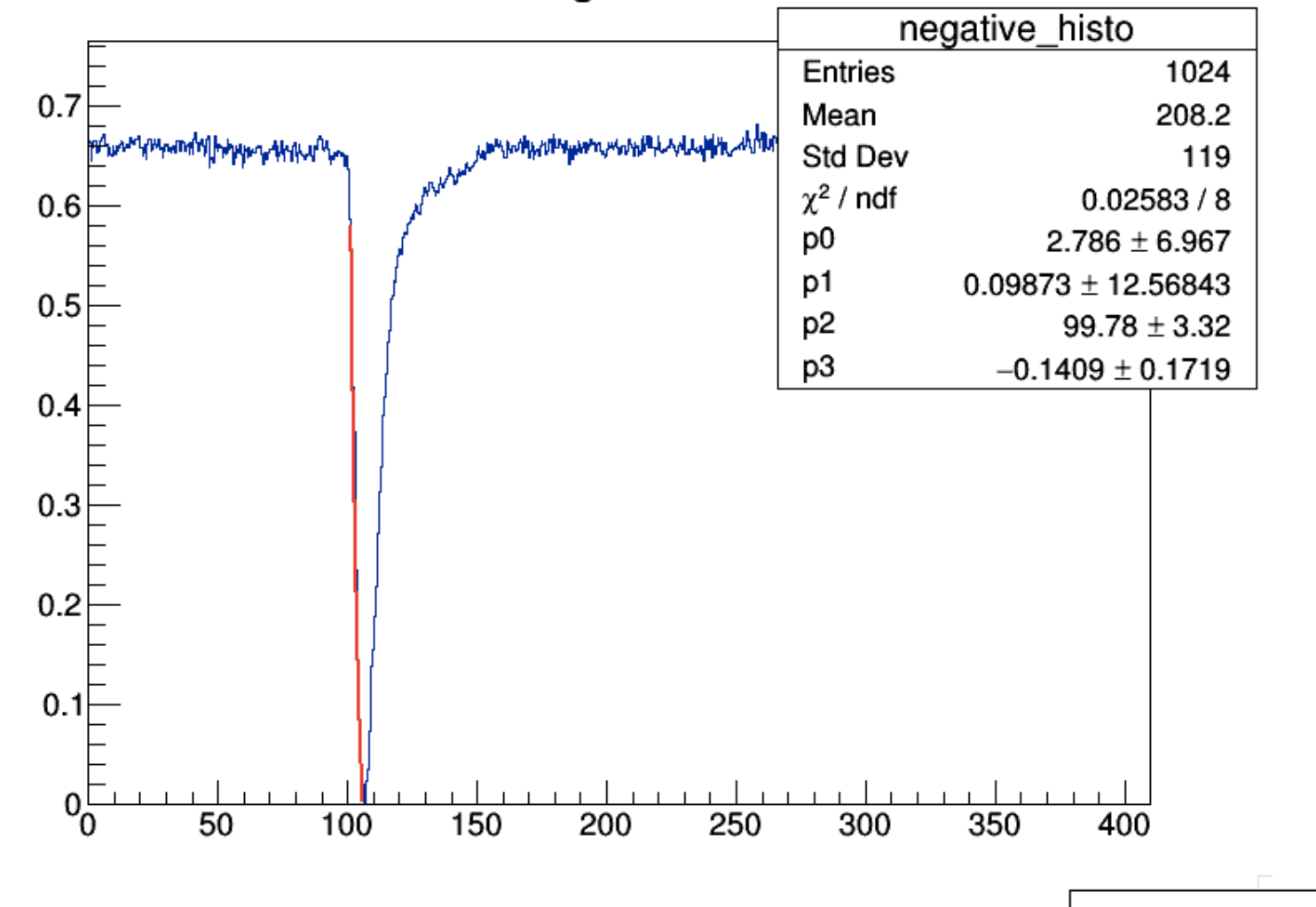


### **PMT**

#### istogramma tau\_s

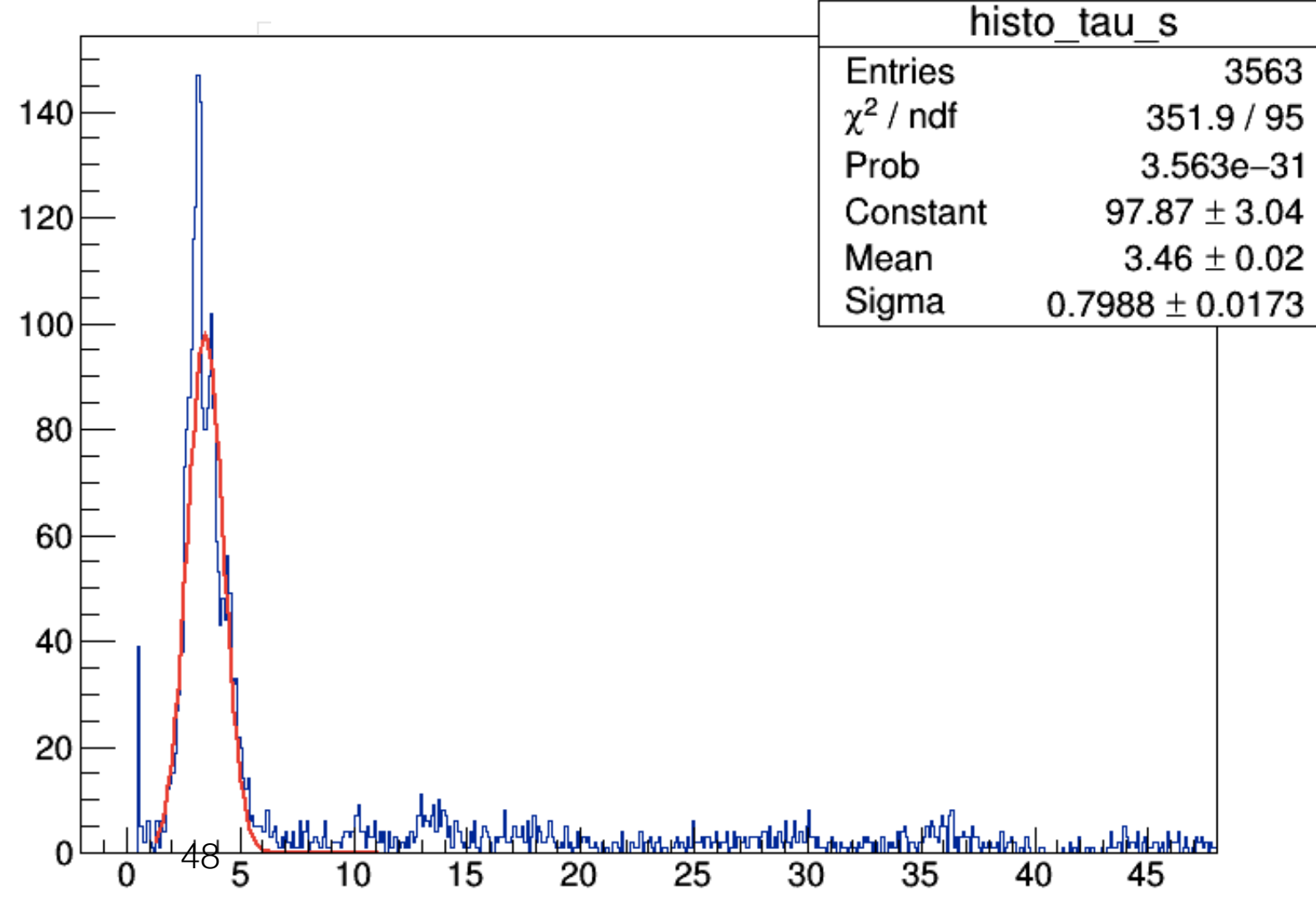


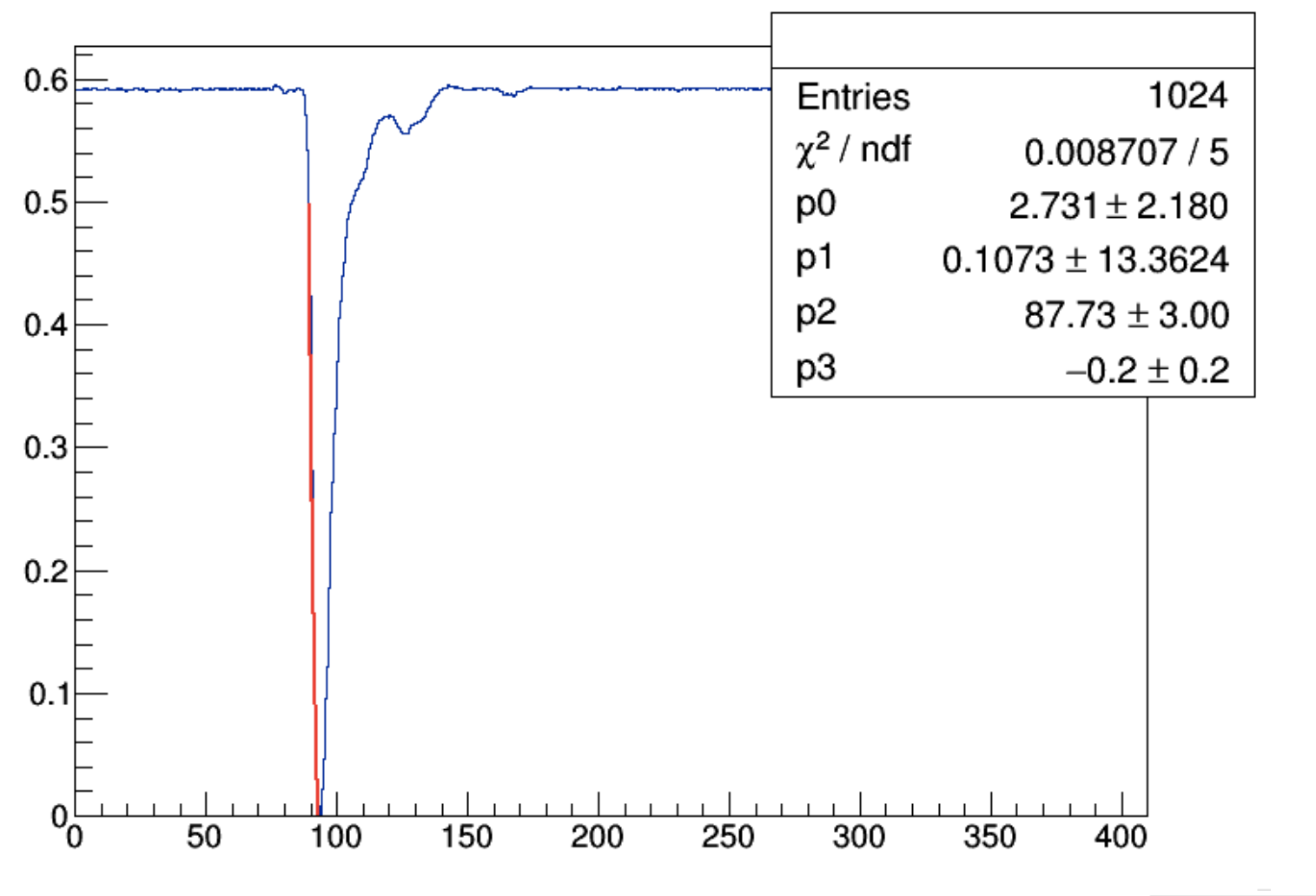




## 2N\_POPOP

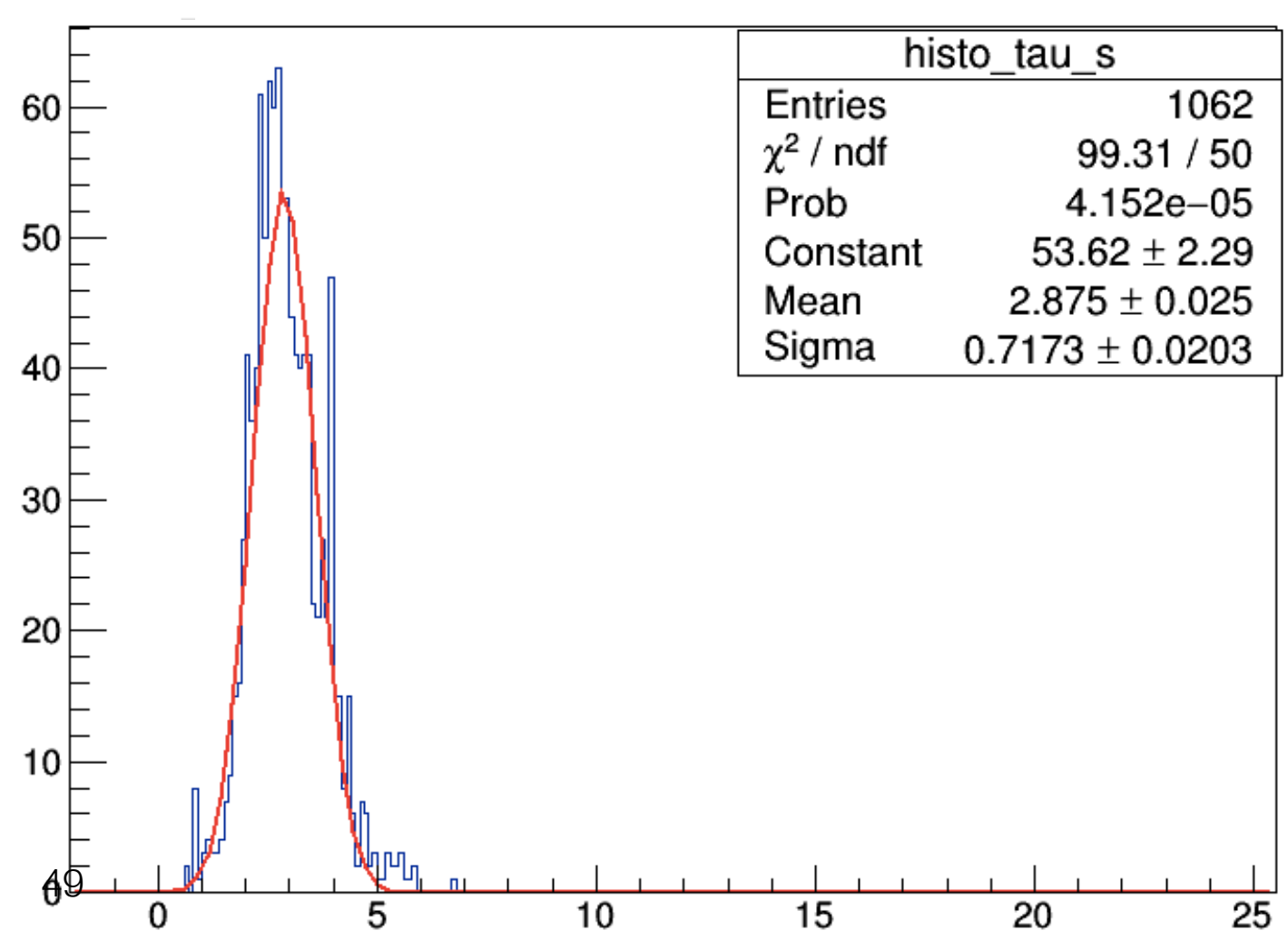
istogramma tau\_s





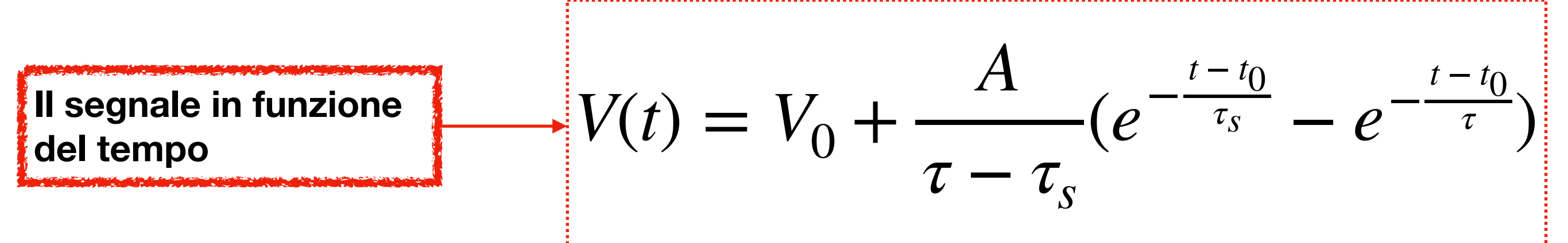
### **2B**

#### istogramma tau\_s

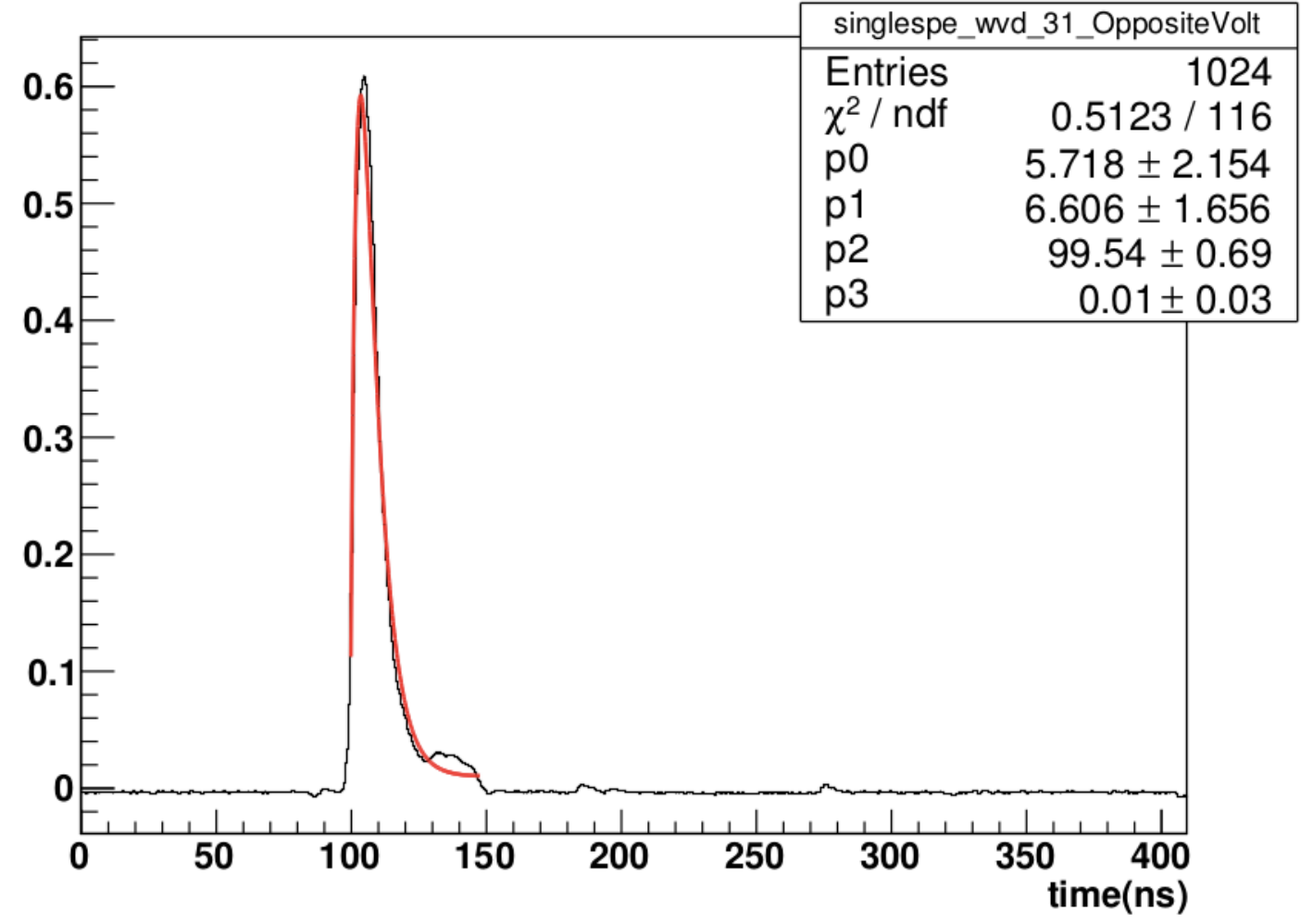


## Decay Constant

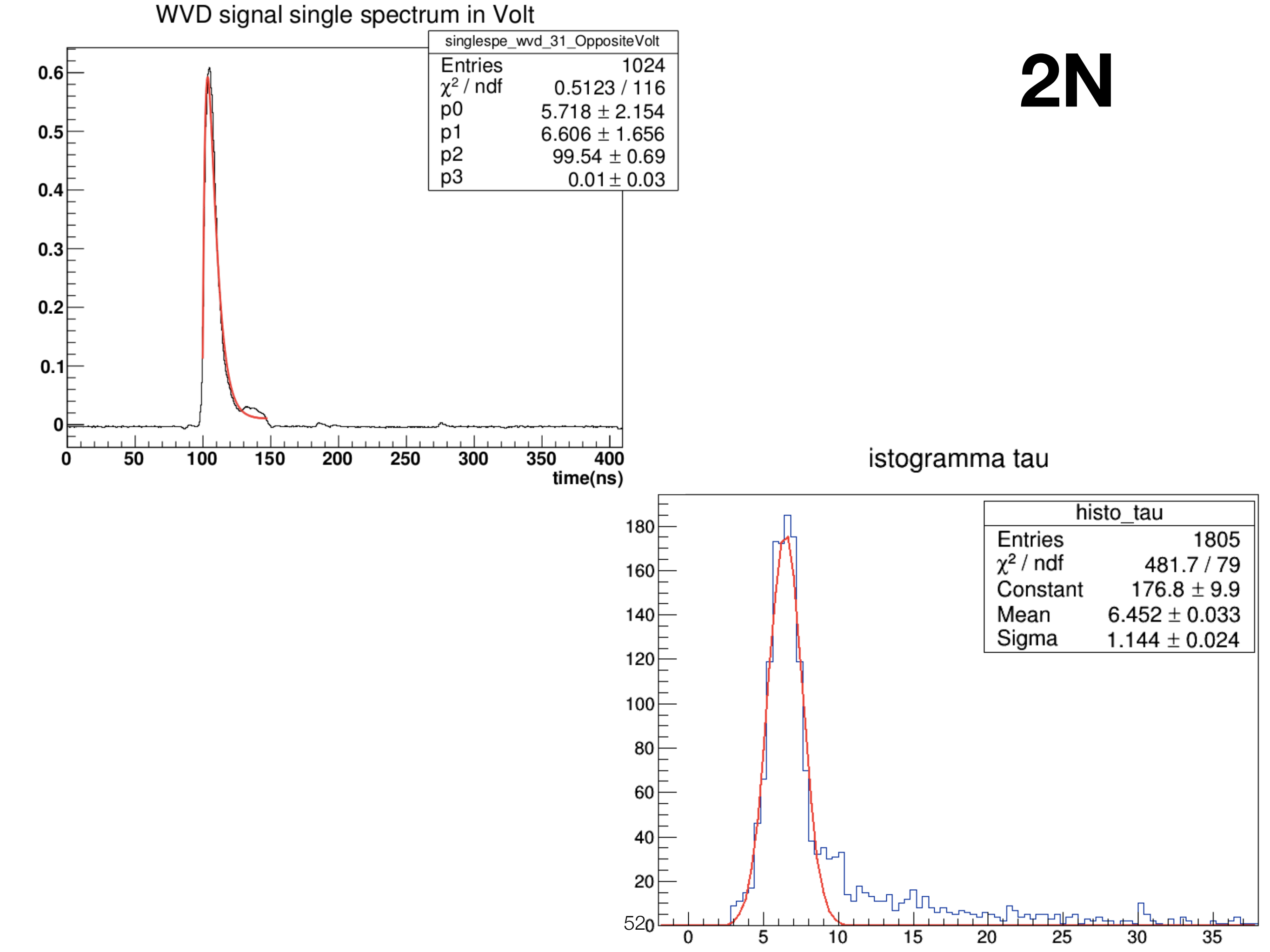
### Fit del tempo di decadimento sulla singola onda

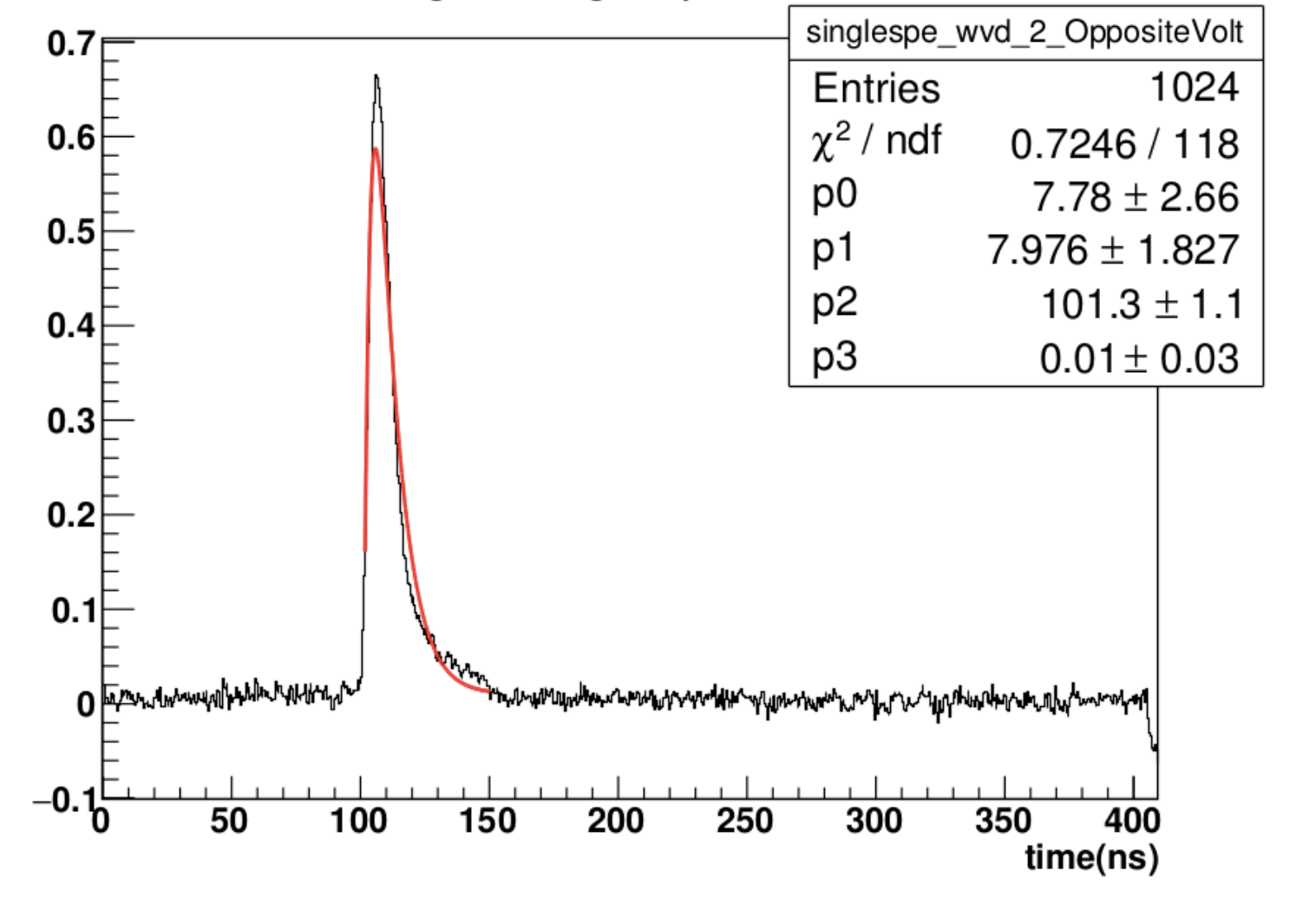






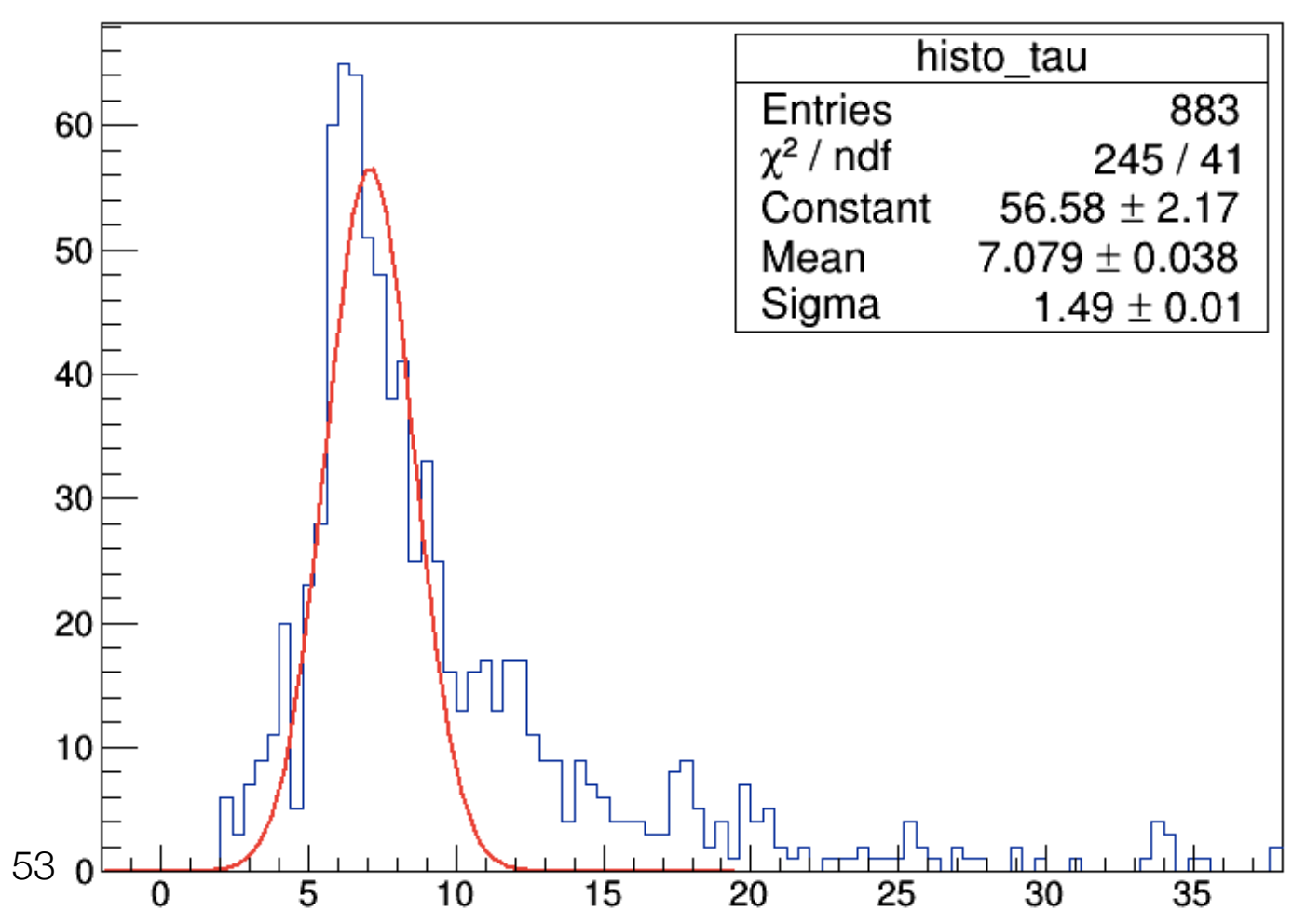
- 1)  $p_0 = \tau = Decay constant;$
- **2)**  $p_1 = A = Constant;$
- 3)  $p_2 = t_0 = Initial time;$
- **4)**  $p_3 = V_0 = Offset;$
- 5)  $p_4$  = Fixed Rise Time.

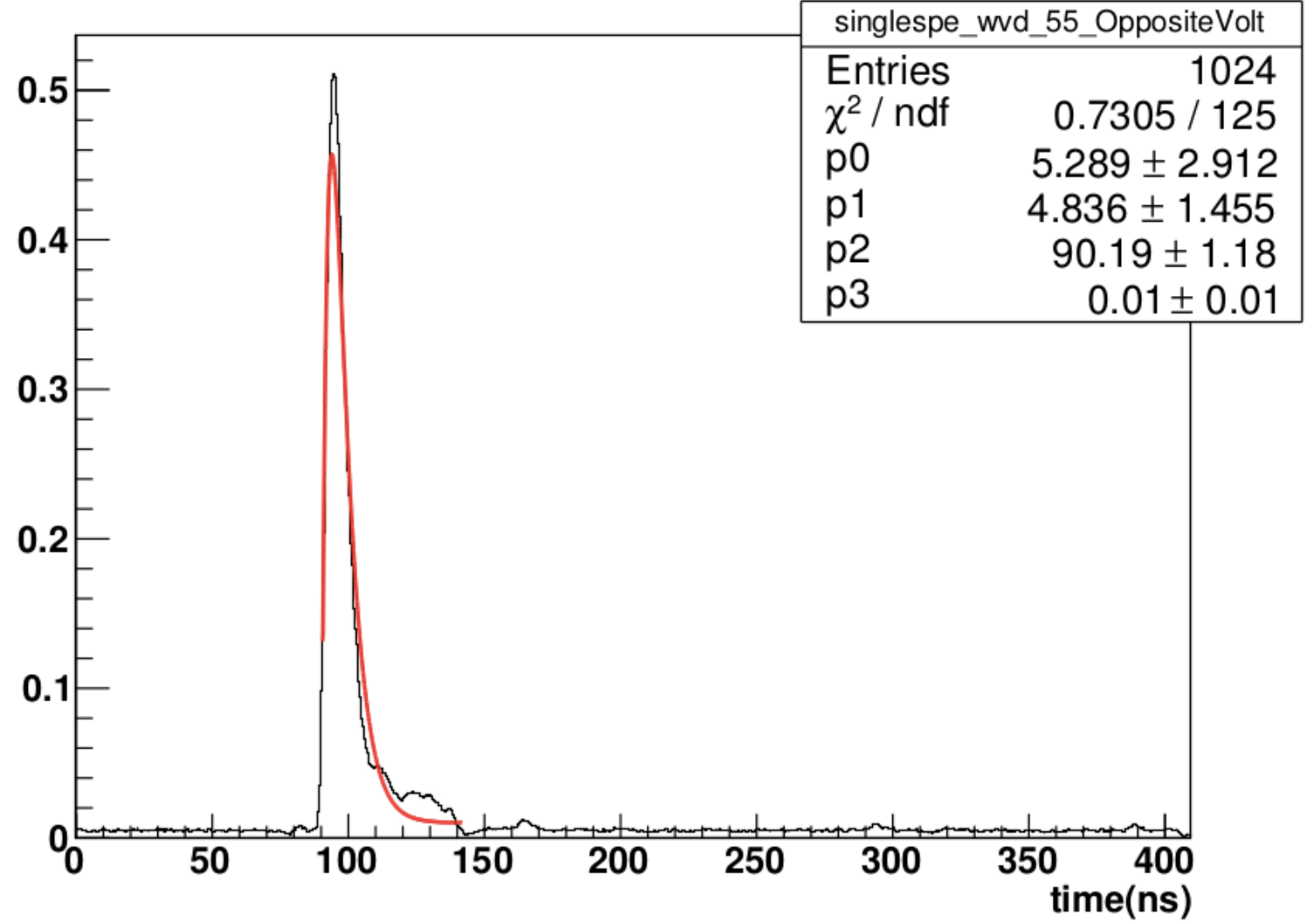




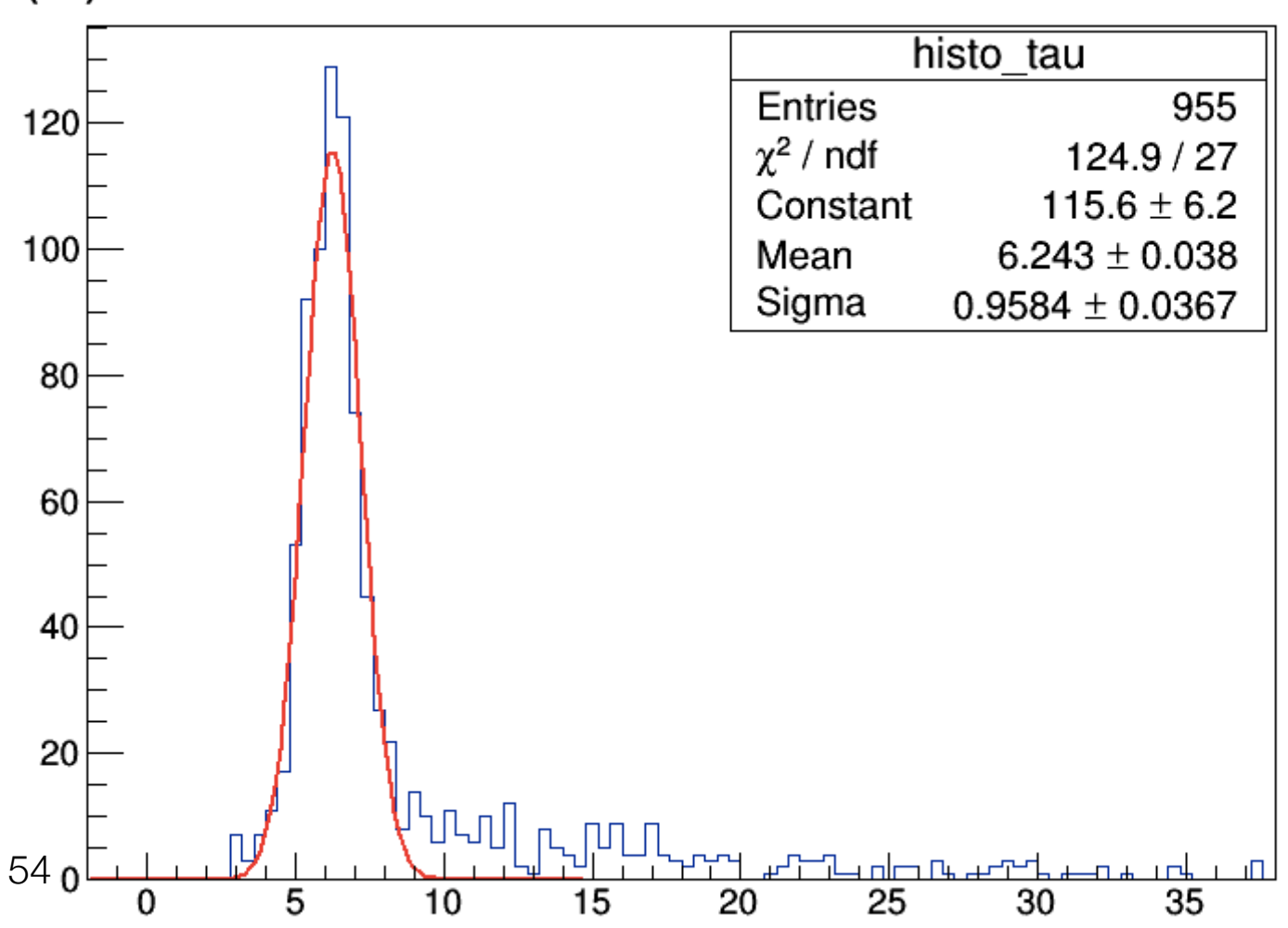
### 2N\_POPOP

#### istogramma tau



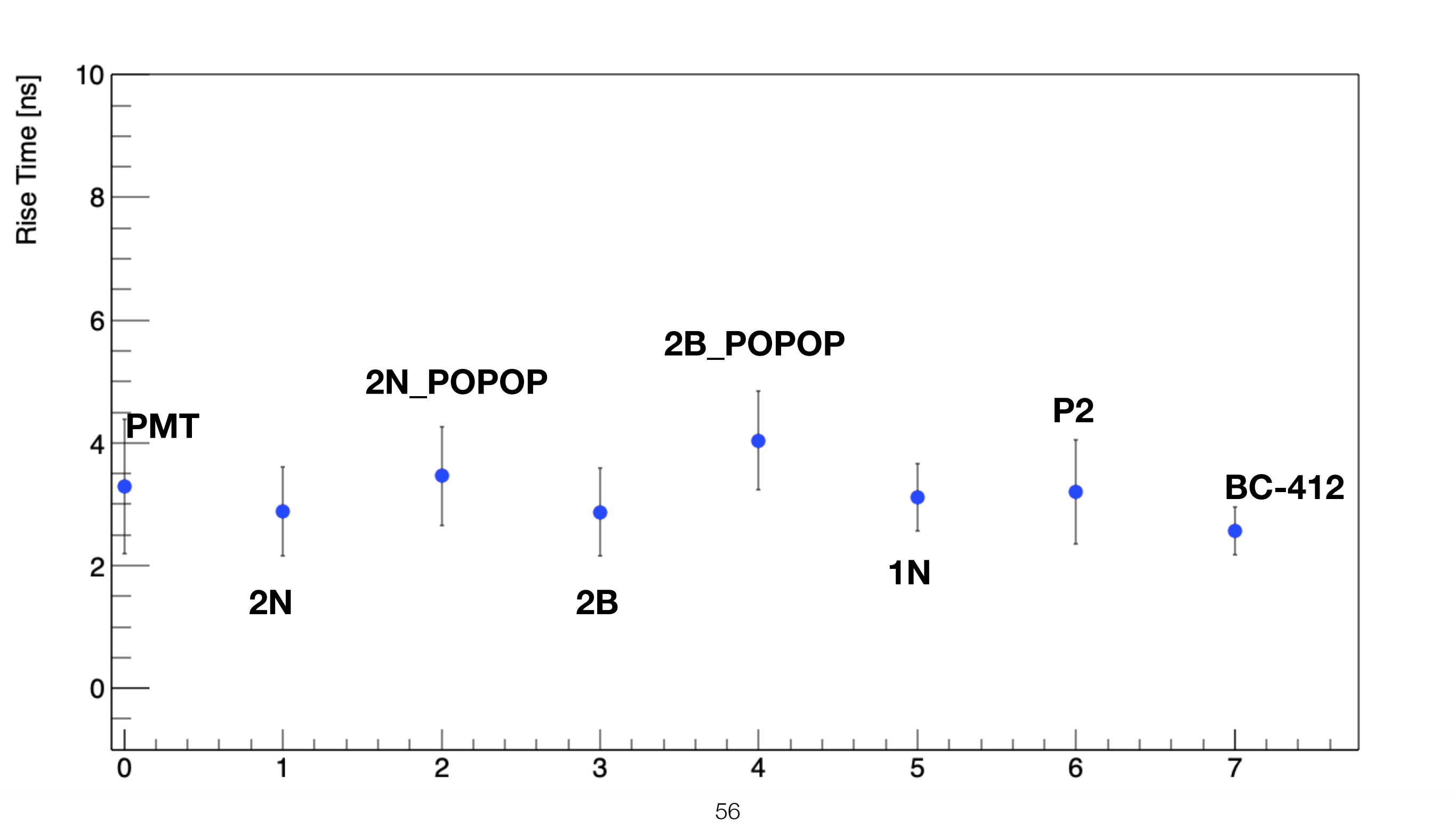


### **2B**

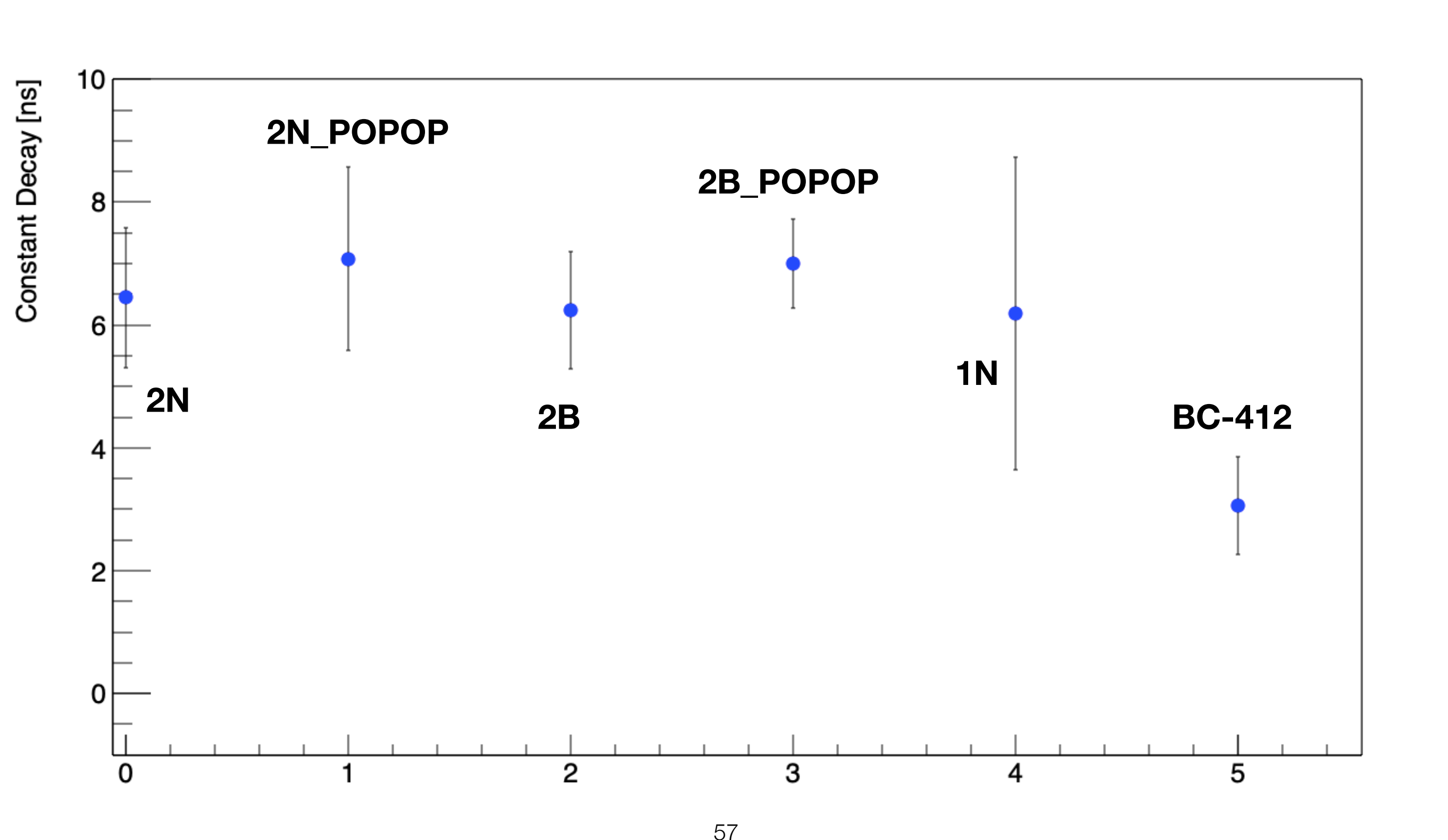


	Rise Time (ns)	Constant Decay (ns)
PMT	3.29 ± 1.10	X
2N	2.88 ± 0.72	6.45 ± 1.14
2N POPOP	3.46 ± 0.80	7.08 ± 1.49
2B	2.87 ± 0.72	6.24 ± 0.96
2B POPOP	4.04 ± 0.81	7.00 ± 0.73
1N	3.11 ± 0.55	6.19 ± 2.54
P2	3.20 ± 0.85	X
BC-412	2.56 ± 0.39	3.06 ± 0.79

# Plot Rise Time [ns] Scintillators



# Plot Constant Decay [ns] Scintillators



## Conclusions

- 1. In base alle 4 proprietà fisiche principali ricavate (il guadagno in carica, la risoluzione temporale, il tempo di salita ed il tempo di decadimento), gli scintillatori più promettenti sono: il 2N, il 2B e l'1N.
- 2. Il confronto di questi parametri ha mostrato una netta differenza di prestazioni tra i nuovi scintillatori ed il commerciale BC-412, suggerendo la necessità di elementi aggiuntivi performanti.
- 3. Tutti i tempi di salita degli scintillatori analizzati, eccettuato l'antracene, sono talmente piccoli che la sensibilità del pmt non permette di rivelarli. (∖Rise Time −-> \Time Resolution)
- 4. Utilizzando il tempo di salita del pmt, è stato comunque possibile ricavare i tempi di decadimento degli scintillatori, i quali risultano (tranne che per l'Antracene) tutti al di sotto dei 10 ns, come atteso.

Scint	Charge [% to An]	Time Resolution [ns]	Rise time [ns]	Constant Decay [ns]
PMT	Χ	X	3.29 ± 1.10	Χ
An	100	1.407 ± 0.077	X	13.00 ± 2.47
2N	2013.4 ± 48.8	0.671 ± 0.027	2.88 ± 0.72	6.45 ± 1.14
2B	747.2 ± 15.5	0.871 ± 0.030	2.87 ± 0.72	6.24 ± 0.96
2B POPOP	890.1 ± 15.7	0.673 ± 0.028	4.04 ± 0.81	7.00 ± 0.73
T2	78.1 ± 0.4	1.009 ± 0.043	Χ	Х
T2 POPOP	471.2 ± 10.6	0.878 ± 0.029	Χ	Χ
P2	114.2 ± 12.7	1.045 ± 0.038	3.20 ± 0.85	Χ
1N	846.9 ± 17.7	0.615 ± 0.029	3.11 ± 0.55	6.19 ± 2.54
1N POPOP	694.9 ± 12.9	0.610 ± 0.026	Χ	Χ
BC-412	4548.3 ± 21.9	0.538 ± 0.026	2.56 ± 0.39	3.06 ± 0.79

## To do per la tesi

- 1. Finalizzare la scrittura del cap. 3 e 4 (le misure);
- 2. Perfezionare l'analisi sulle forme d'onda e sulle distribuzioni di carica;
- 3. Acquisire il 2B 5%;
- 4. Post scrittura: Cross-Check risoluzione temporale con il waveform;

## To do per luminarie

1. Cambiare il pmt (mettere uno più performante);